東海第二原発運転差止訴訟

原告本人尋問大石 証拠綴り

2020年1月10日

原告代理人 尾池誠司

尋問でお尋ねすること

原告本人が書かれた陳述書や書証にもとづいて、今日は主に以下の点をお聞きします。

(前半では)

- 1. 原告本人が経験したや被害について
- 2. 自ら経験したことから言えること

(後半では)

3. 本裁判で原告本人が作成した書面や書証についてお聞きします。

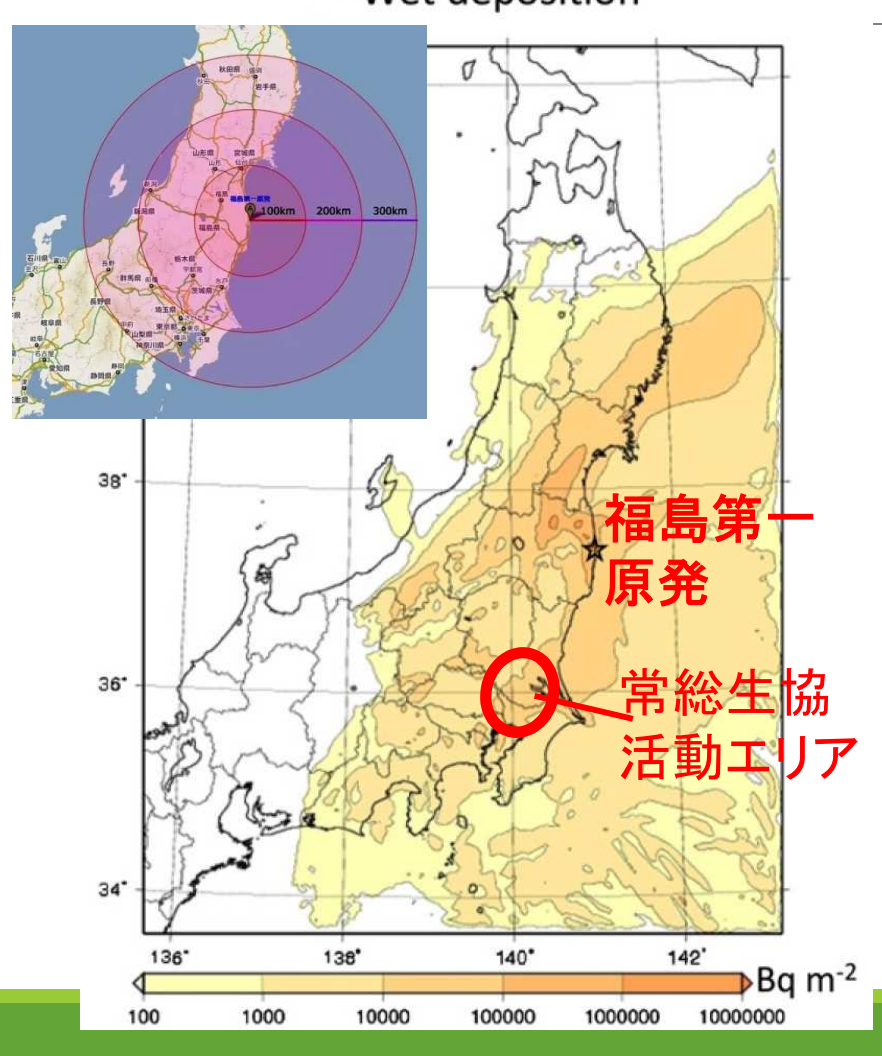
目次

- 【1】身上•経歴
- 【2】原発事故への対応
- 【3】返してほしい 福島山木屋牧場
- 【4】母乳検査
- 【5】 東海第2原発は本当に安全なのか
- 【6】まとめ

【1】身上•経歴

食の地域自給と生産と消費の協同を破壊した原発事故

Wet deposition



常総生活協同組合

福島第一原発から150~220km

組合員3,500名

本部:茨城県守谷市

活動エリア: 茨城県南部~千葉県東

葛地域

主な事業は「食の地域自給」をめざして、 生鮮食品の約65%を地産地消

「協同組合」

近代産業社会の中から生まれた「協同組合」は、産業社会の行き過ぎに抵抗し、公正な社会をめざして人と人とのつながり(協同)の相互扶助を実践運動・事業としてすすめる。

1970年代公害の時代に日本で広がった食の安全を求める消費者運動と生協運動・・組合(員)の利益追求ではなく、生活の知恵の交流と、「モノの売り買い」を超えて共に「安心の食・くらし」をつくるという共通の目標。作る人と食べる人が支え合う関係づくり。この提携・協同事業を通じて地域社会を良くしてゆく。

原発立地県での経験

(1986年 生協でチェルノブイリ委員会)

1997年 東海村旧動燃再処理施設アスファルト固化ドラム缶火災・爆発事故→60km離れたつくば市上空に放射性プルームが1週間滞留

1999年 東海村JCO臨界事故→作業員2名急性被ばくで死亡、周辺住民も被ばく。生産物も広域に出荷制限。生協も騒然と。

そして2011年、福島第一原発事故でホットスポットに

もうこりごり・・・・

1999年JCO臨界事故時の生協ニュ

2013年1月第1回口頭弁論期日原告大泉恵子さん(故)の意見陳述、2020年1月10日の相沢

清子さん原告本人尋問での証言に関連して

【東海村ウラン臨界事故にかかわる緊急連絡】(10/3時点)

【県内産品の供給について】

1. 今回の事故は、事故そのものは日本における最悪の事故で、臨界反 応により周囲に直接の「放射線」被爆をもたらしたが、爆発を免れたこと から、屋外への「放射性物質」の全面的拡散は回避された模様です。(外 部に放出された放射性物質は、核分裂反応によって生成された放射性 物質のうち、気化して外部に放出されたものが約1/100と推定されていま す)。

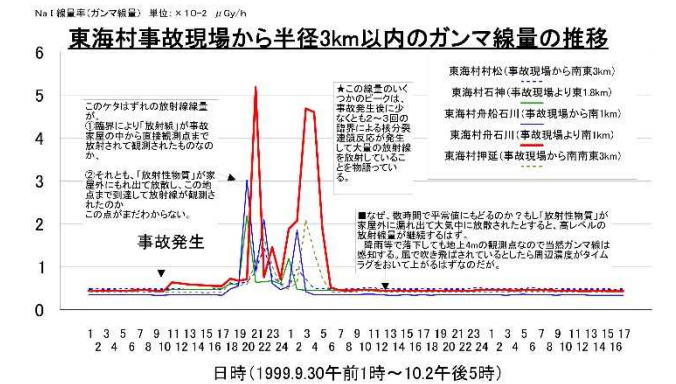
- 2. その結果、施設からの直接放射された放射線を受けた周辺を除いて、各地の放射線線量は「平常値」を維持していた様子です(裏面、放射線量の推修参照)。放射性物質の大気への放散、落下、操作物や土壌への付着、水の汚染が最小限に抑えられたことは不幸中の率いです。しかし、1/100とはいえ、放射性物質が大気中に放散したのは事であり、そもそも核分裂生成物の量が折らがいですので、注意が必要です。
- 3. 幸い、茨城県農林水産部の「農林産物サンブリング検査」において も、10km圏内の農林産物12品目につき放射性物質の検出がありません でした(裏面資料)。また、私たちの「いばらき3 8年乳」の生産者で10km 圏内に該当した生産者(常後大田市ニオ町)の生乳からも検出されませ んでした。「じじみ」の産地である涸沼の突端である大洗町の夏海湖(事 故現場から23km)の湖水から未未検出の結果です。八郷(事故現場から 48km)の野空 明からも実権出です。
- 4. このような状況から、生産者・メーカーの自主判断による出荷停止を 除き、通常通りの供給とさせていただきます。

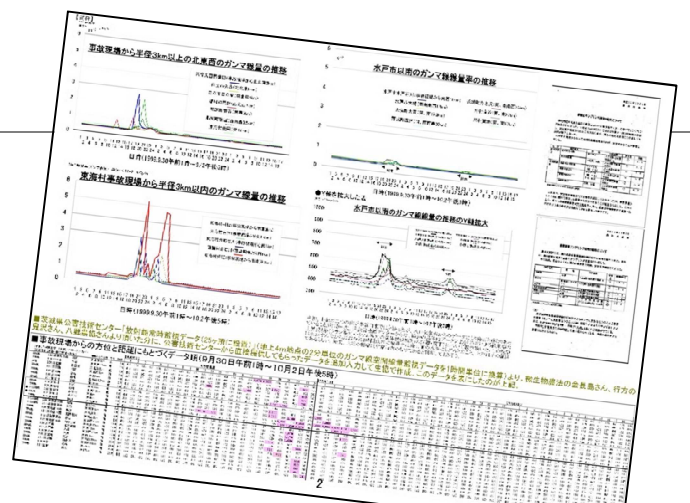
1999.10.4 常総生協

- 【事故状況報告】 ・ 情分異の数はつ ・ 当成はセマウシンの協目が起こってクラン2015が接分限し ましたが、今夏の中域から結ば、一個のは原幹に至らず、 と身が同時が現在かないもにおからはかったとが機か。 うです「9/20年刊の時年まなイロ/0千円時でまます」。接 分級の私は、3位の情報と指数されてきり、そではたる。
- ●反応したウランの書および放出された放射能の単は? 事故原因となった状態性内のウランのづち、採昇反応によって [2~10g]のウランなが成分型した機様です。この核分を下よって生成された核分裂主式物は1,016~1,017ペランと推測されておけます。
- ■この分数の際に発生した数率な数据核が原因で数率のにわたって数据され、下来のこの分数度の設計線系が配送されたラクがよう。上述、この送前線のの時間での直接を表示で数した上級や人体中のショウンの受験相談にでは表示が明した程字です。日の決定を使りません。この表示がので、この設定をからましたが必要を表示された。この表述をできない。
- ●この生成された核分裂生成物(他物性物質)のうち、約1/100 解能が落在して部外に変化した影響がおいいかで、方がの原 の場合機能はいる域では大きたがきたが、反方命の原 が特別質性から致化して、の影化しまり部に関係を発しし いたもうを表えずたもちゃらの事故場を持つにないかを重か 放射性物質が存っていて影響をお出しているため土質で設 したなしています。 他で、見来目野の人体への必然解析を対しているため土質であ を使って見まり回り、100%というなど、100%というなど。100%というなど。100%に対しているというなど。100%に対しているというなど。100%というなど、100%というなど、100%というなど、100%というなど、100%というなど、100%というなど、100%というなど、100%というなど、100%というなどは、100%というなどが、100%というなどは、100%というなど、100%というなどが、100%というなど、1

の旅海の「安全宣言」は問題と考えます。

●東海村現場周辺の状況と不明点(9/1までのデータによる生協内部での検討対象資料)(9/2時点)





70km離れた生協でも地場の野菜などが汚染されたかどうかで騒然となった。

当事者のJCOや国からの情報が明らかにされず、中性子線やヨウ素の情報もない中で、市民がモニタリングポストの情報を収集して対応を考えざるを得なかった。

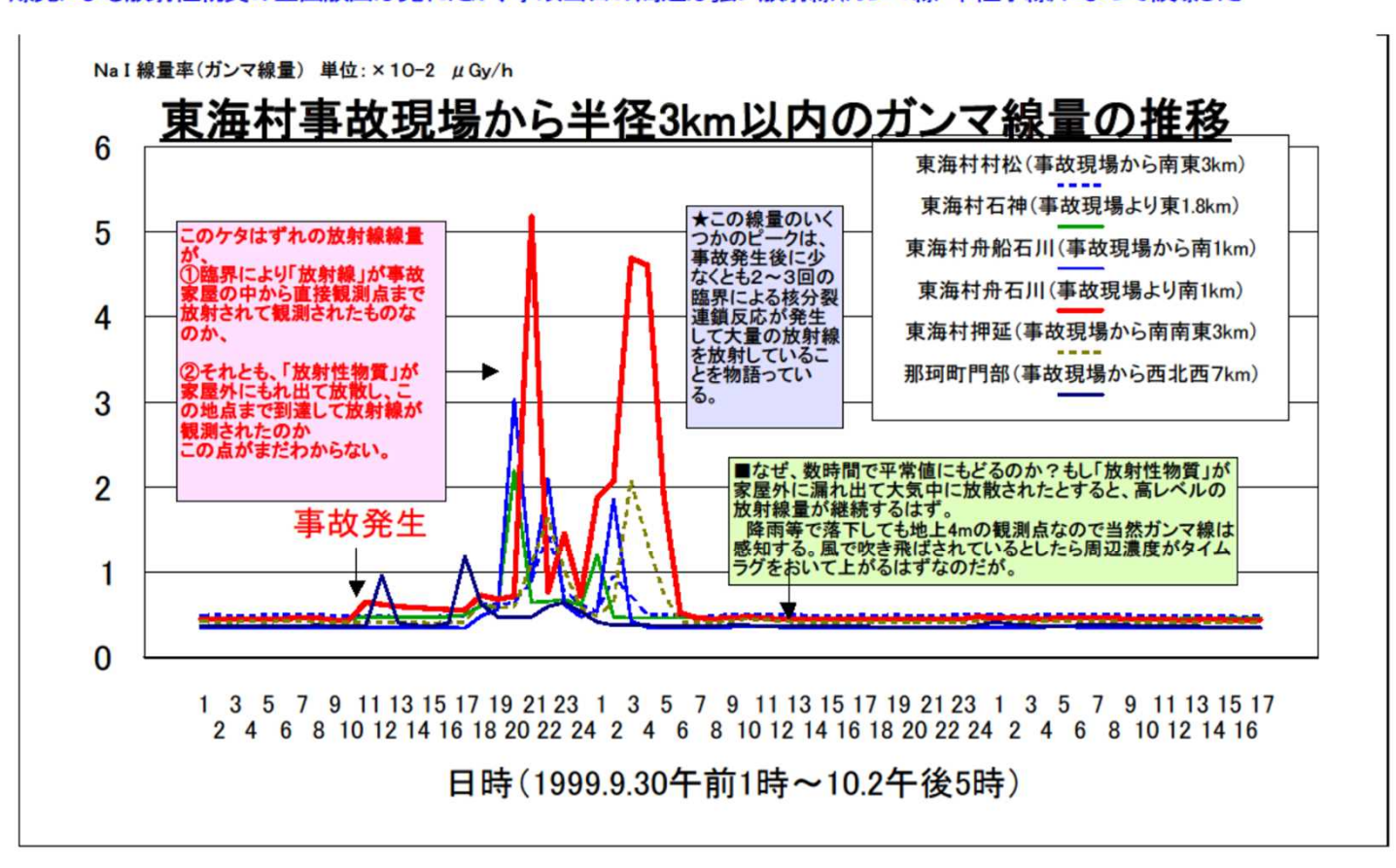
当時はまだモニタリングポストの線量率データはリアルタイムで見られず、Faxでデータを送ってもらい生協のPCに入力して線量率推移を整理して状況を把握し、公表するまでに丸3日かかった

甲F145号証 一部拡大

生協でもモニタリングポストのガンマ線の情報を得るのがやっとだった

●●東海村JCOウラン臨界事故当日の周辺の放射能の状況●●

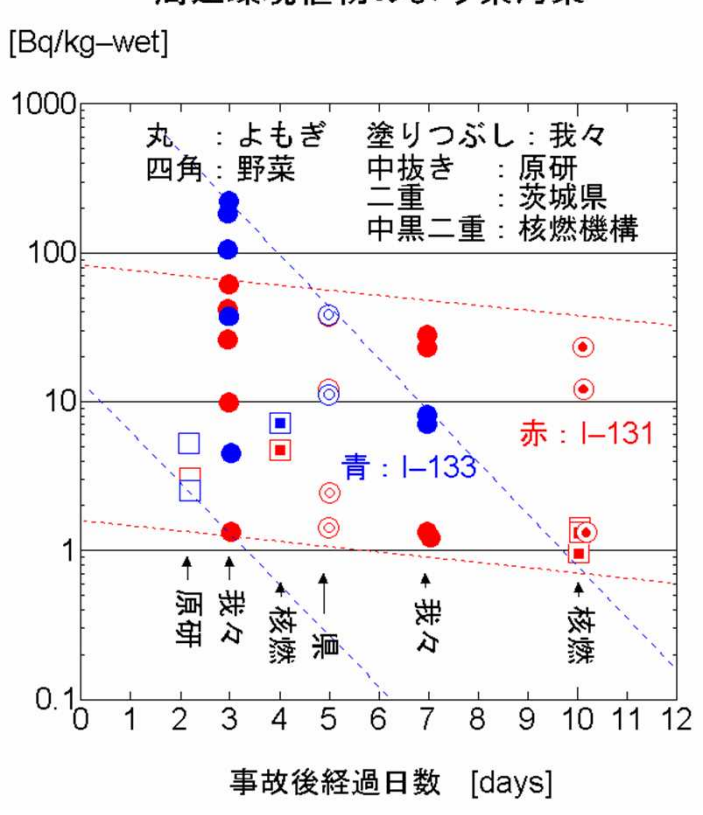
爆発による放射性物質の全面放出は免れたが、事故当日の周辺は強い放射線(ガンマ線・中性子線)によって被爆した・・・・・



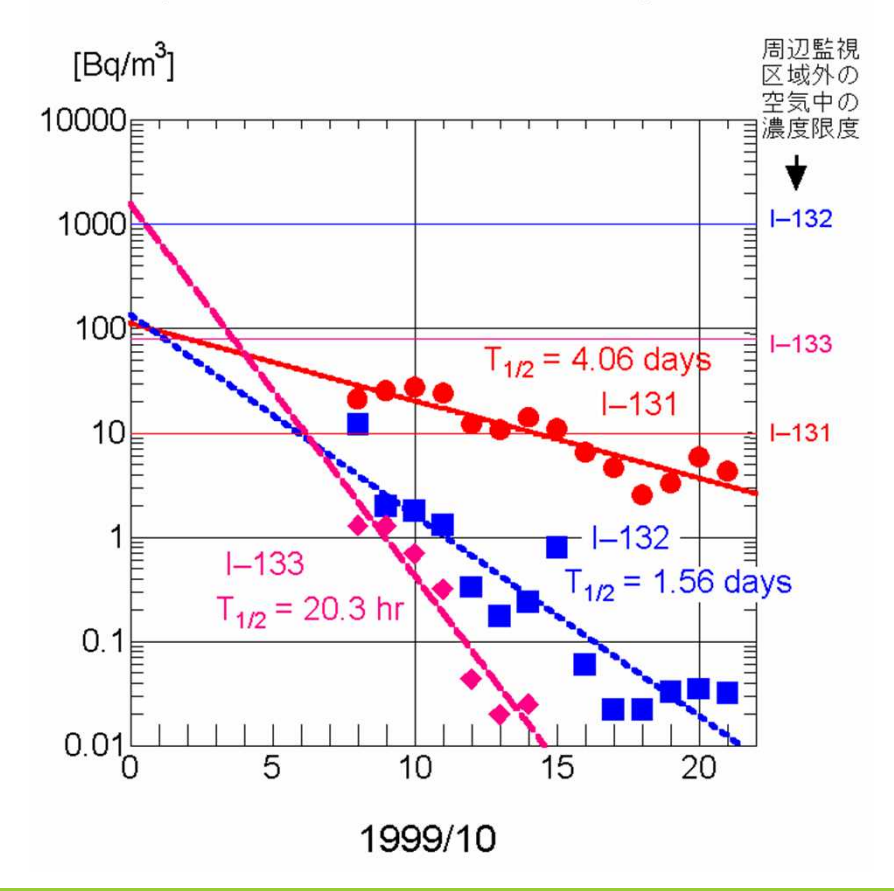
放射性ヨウ素の放出

京大原子炉実験所、小出・間中氏らによる調査

周辺環境植物のよう素汚染



JCO排気筒出口における空気中よう素濃度の推移



【2】原発事故への対応

2011年3月11日







3/14「炉心溶融」を伝える生協ニュース

COOP JOSO NEWS LETTER 2011 3-5【東日本大震災 緊急速報】

COOP-TOSO News Letter

【東日本大震災 緊急速報】

組合員のみなさまへ

設置し

かりで

生協

常総生協・震災対策本部

「震災」についての状況のお知らせ(3/14 第一報)

【心配されていた大地震時の原子力発電所】

政府は原発で「何が起きているのか」を正確に正直に情報公開して、住民の安全を確保

「東日本大震災」は、その規模をマグニチュ ード9.0に修正し、「世界最大規模」の地震と 組合員・なりました。

同時に、大震災に伴う大変な事態が進行し ています。

産地・ 12日、経産省原子力安全委員会は福島第 の被害 1原発で「炉心溶融が発生したと見られる」 と、最悪の事態を発表した。

1979年米国で起きた「スリーマイル島原発 事故」のメルトダウン(大規模な炉心溶融)の 生協手前であることを認めた。

ただでさえ自然災害の猛威の前に人命救 助さえままならない事態なのに、それに追い 打ちをかけるように「原子力発電」という「人 為」の災害への最悪の事態に入ろうとしてい

■政府の発表(記者会見)は、国民のパニックを回避 するのを優先させるあまり、断片的な情報を、「念のた め」「万全を期している」「不測の事態」等の言葉で包 み、正確で正直な情報を国民に伝えず、結果、周辺 住民を「被曝」させる結果を生み出しています。

原発という人為災害はさらに広範囲な被災をもたら す危険性があります。

これから起こりうる事態を受け止め、冷静に対処す るためにも、「今 右ゥーー

●次は核分裂生成物の崩壊熱冷却

核分裂反応が止まっても、核分裂によって 生まれていた放射性のヨードやセシウム、クリ プトンなどの「核分裂生成物」は、放射線を出 し「崩壊熱」を出しながら引き続き連鎖して分

次の段階では、300℃に達している崩壊熱 を冷ましながら50℃位まで温度を下げていか なければならない。

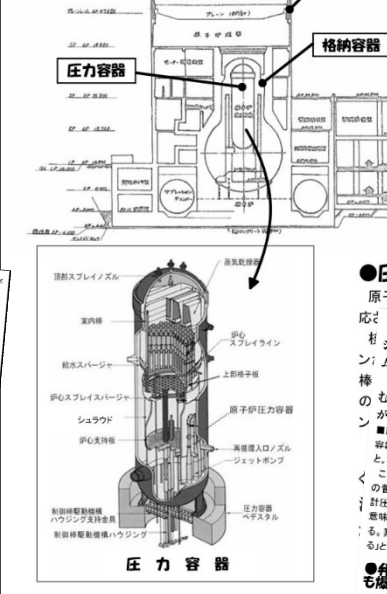
すでに中の水は沸騰しており、温度を下げ るためには外から水を入れて「熱除去」しなけ ればならない。水を入れるためにはポンプを 回す電源が必要となる。しかし地震で「停電 」。 こうした事態を想定して二重三重の「非 常用電源」が用意されていたはず。

●非常用電源の起動に失敗

ところが、何度も訓練していたはずの二つの 「非常用電源」が起動しない。

すでに津波で重油タンクは流されておりディ ーゼル発電機も起動しない。所内の損傷もあ るのか蓄電池系も起動に失敗。

■11日17時35分には冷却剤漏えいも確認され 事無



【原子炉棟】

ところが、19時46分、枝野官房長官は記者会見で 「原子炉に問題なし」と発表した。

●冷却機能喪失と「避難指示」

政府は非常用電源車を東京、水戸、大宮、 自衛隊から送り込み、到着して非常用電源を 確保したもののそれもうまくいかなかったよう だ。冷却機能の完全喪失を意味した。

かくして20時50分すぎより、県・国がたてつ づけに半径3km、続いて5kmの住民の「避難 指示しを出す。

夜23時、建物家屋で放射線量が上昇。翌 12日0時15分から1時45分の間でようやく住 民は圏外に避難した。

しかし実際は次のような事態が起きていた。

●圧力容器内で燃料棒露出、溶融へ

原子炉の中心には核燃料をコントロールしながら反 -- 四・北京

【タービン棟】

ナービンな女 Service | Periods

いづれにしろ、炉心の「圧力容器」から外に 村 ジルコニウムとともに放射性ヨウ素やセシウ ン、ム、クリプトンなどが噴出。

水素爆発で
・吹き飛んだ建屋上部

棒 かくして圧力制御喪失に。「圧力容器」を包 の むように「格納容器」があるが、それさえ圧力 が高まり破裂の危険に。

■政府の発表やマスコミの解説はこうである。「格納 容器の普段の圧力4気圧の倍の8気圧になっている」

この原子炉を設計した技術者によれば、「格納容器 の普段の圧力は常圧の1気圧。4気圧というのは「設 j 計圧力」であって、4気圧を超えれば破壊されるという 意味。8気圧というのはもう異常な事態を意味してい る。素人や大学の学者がいい加減なことをいってい

●弁を開いて放射能をまき散らしてで も爆発回避を決断

東電・政府は人為的に弁を開く(ベント)こと を決断。周囲の住民が広範囲に被曝するの

朝5時44分、政府は半径10kmに拡大して住 民に非難指示。菅首相は7時すぎにヘリコブ ターで福島第1原発を訪れ現地を「視察」。

9時すぎから格納容器の圧力を下げるため に弁を開き放射性物質を外部に放出を実 行。もうなりふりかまっていられないという非常 措置である。

■政府はその危険性を認識した上で「決断」してい る。首相の現地入りも「視察」などではないはずだ。 ところがこの時の枝野官房長官の記者会見は何と 避難範囲を広げたのは「念のため」「住民のことを第 に考えて早め早めの対応」という発表だった。

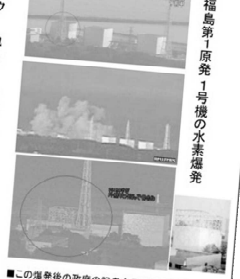
住民が避難するまでの間には、もうすでに外部に放 射能は降り注いでいて、住民は被曝していることが後

●福島第2原発も冷却機能喪失

朝7時40分、第2原発も冷却機能を失い、東電が緊 急事態を国に通報、5分後国は第2原発にも「緊急事

●水素爆発

第1原発1号炉の格納容器から放出された ジルコニウムは建家内部の酸素と触れて「水 素爆発」を起こし、建家を吹き飛ばした。15時



■この爆発後の政府の記者会見は「15時29分放射線 量は敷地境界で1.015 µシーベルト/時を記録したが、 15時36分の爆発をはさんで15時36分には860 μシー ベルトに、18時58分には70.5まで低下したので安心し てもらいたい。ベントの効果があった」と。

しかし実際は1,500 μシーベルトを越える放 射能がまき散らされて、多くの住民が被曝し ていたことが後になって判明する。

■実際、12日午後福島県は東電より「放射線を計測 するために設けている10のモニタリングボイントはす べてダウンしている」との報告を受けていた。 政府の発表による放射線量は定点観測ではなく、移 動モニタリング車による数値であったことがのちに判

●海水漬けに

圧力を減らして原子炉爆発を回避しても崩 壊熱は高まるばかり。冷却水系は放棄して、 最後の手段として、海水を汲み上げて原子 炉に注入する「海水漬け」を行うという。

■しかし、海水注入と崩壊熱による気化との闘いとな ることはまちがいない。海水の注入が上回って露出し た燃料棒を水没させられるかどうかが運命を握ってい る。その過程では各原子炉で1号機と同様の水素爆 発による放射能の放出も続くことも予想される。 早期に広範囲で避難措置を取り、木当の意味で「ア

全」を期し、最悪の事態にも備えた次の措置を準備す ることが必要と考えられる。

(2011年3月13日 文書大石)

3/12東日本・関東には住めなくなること、組合解散を覚悟

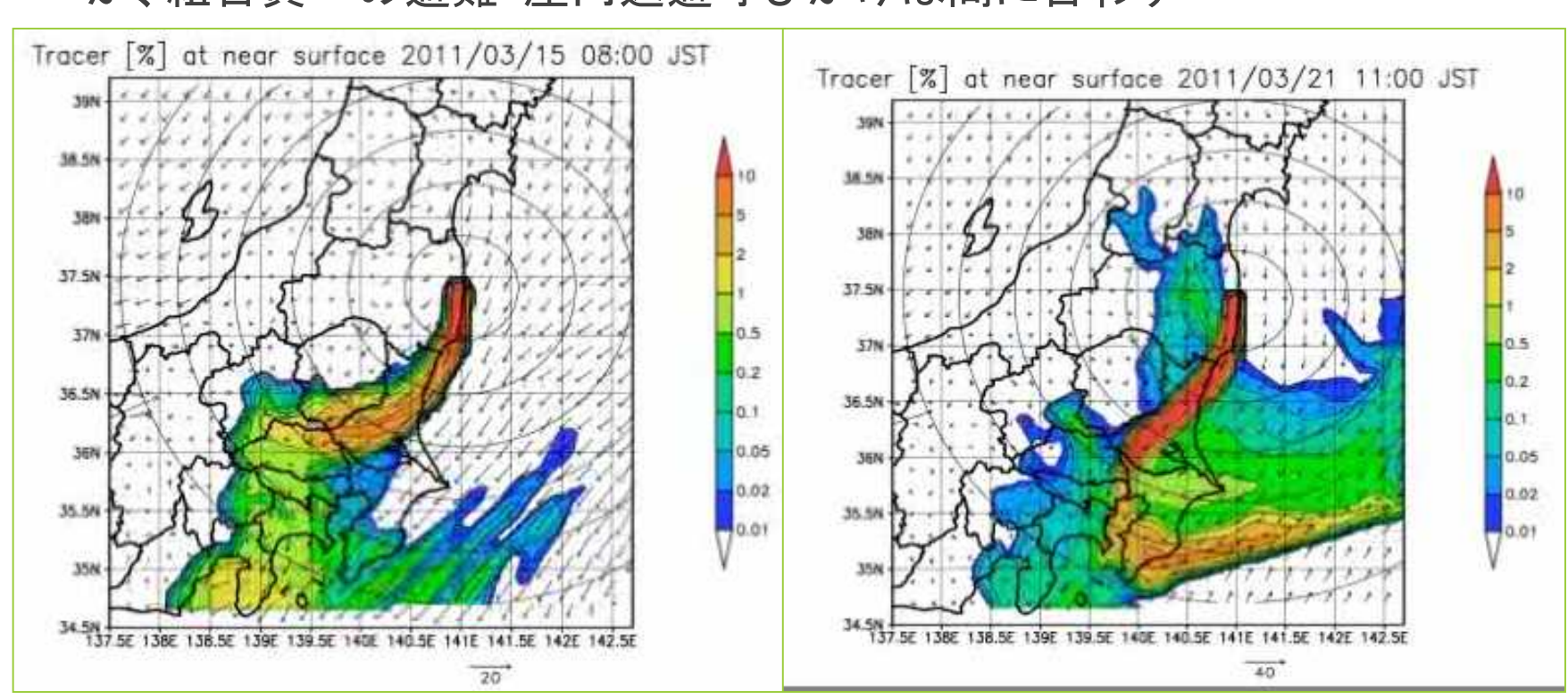
「あぁ~とうとう本当に起きてしまった」

3/13(日)夜の生協経営会議での判断

- ①炉心溶融なので首都圏まで人が住めなくなる。避難が始まる。
- ②しかし組合員に食料を届ける仕事の生協本部が真っ先に避難·撤退する訳にはいかない。
- ③家族のいる若い職員順に避難させる。50代以上は残って欲しい。組合員は順次いなくなるが残留組合員には残った職員で配達を全うする。
- ④組合解散は1年後とし、避難した職員の給与は1年間は保障する。組合 員の避難先を把握して解散時に出資金を返済する。
- 5 当座の緊急措置は被ばく防護。組合員に避難または屋内退避連絡。プルーム通過に備えて建物は目張りのこと。労働安全衛生上、供給職員には安定ヨウ素剤(代替として昆布)を服用させてから仕事のこと。配送中雨が降って来たら作業中断してトラック内に籠もることを徹底すること。

地域組合員に避難・屋内退避を呼びかけるも・・・・

配達職員には3/14(月)朝から昆布を食べさせてから配達に出させたが、組合員への避難・屋内退避呼びかけは間に合わず



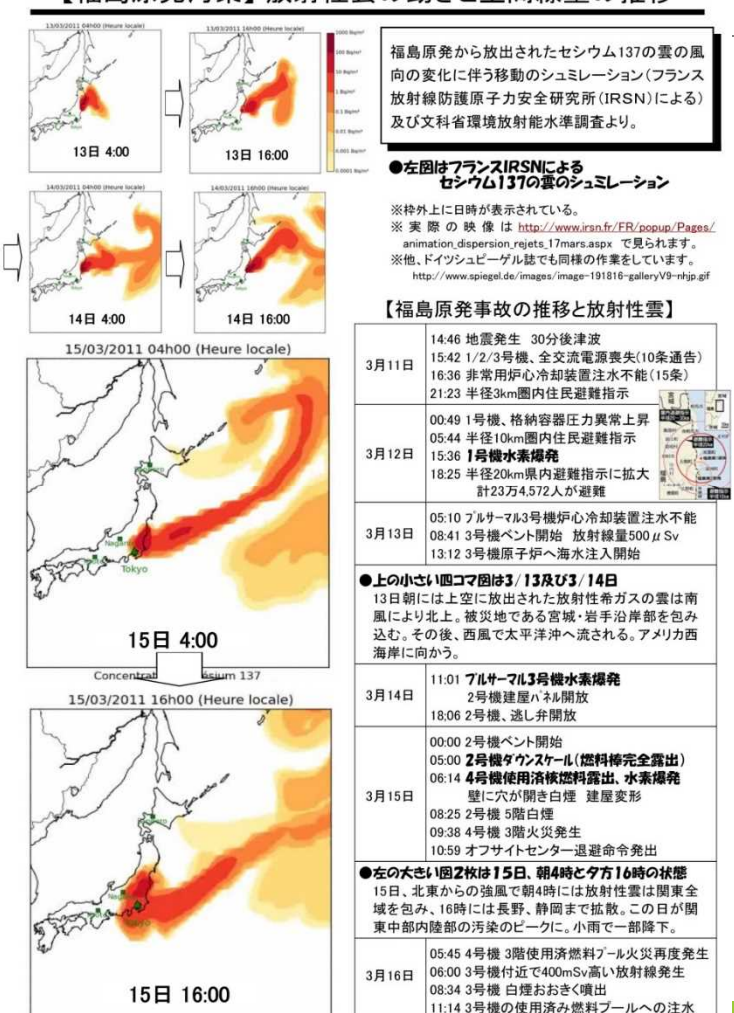
3/21 第3報 プルーム通過・被ばくを伝える

[COOP JOSO NEWS LETTER 2011]

Concentration du césium 137

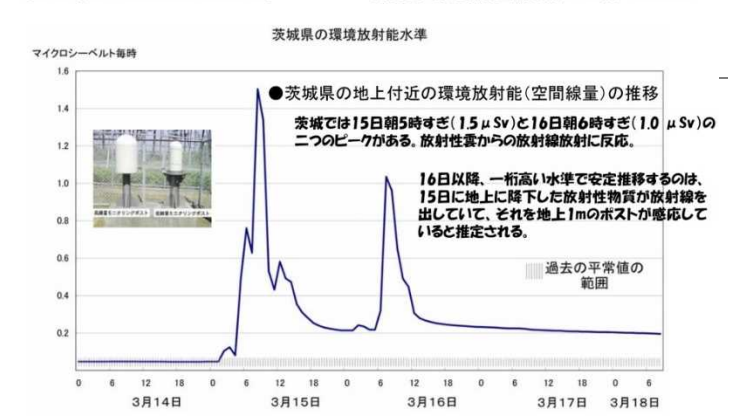
【震災・原発関連情報(3/19)】 2011.03.21

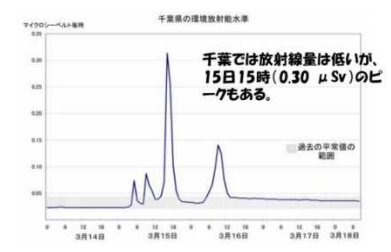
【福島原発汚染】放射性雲の動きと空間線量の推移



ICOOP IOSO NEWS LETTER 2011 1

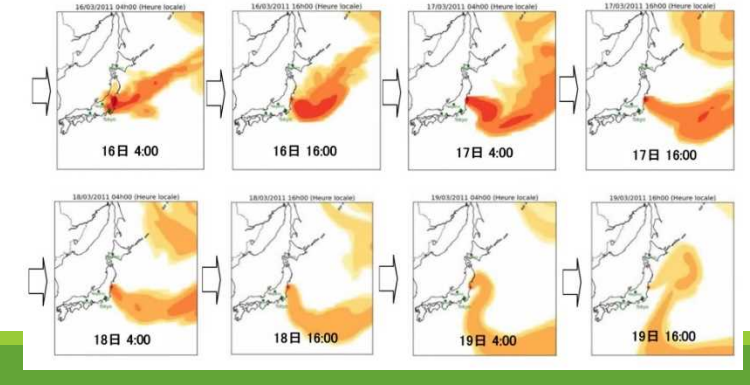
【震災・原発関連情報(3/19)】 2011.03.21







●表面の放射性雲の動きの続き



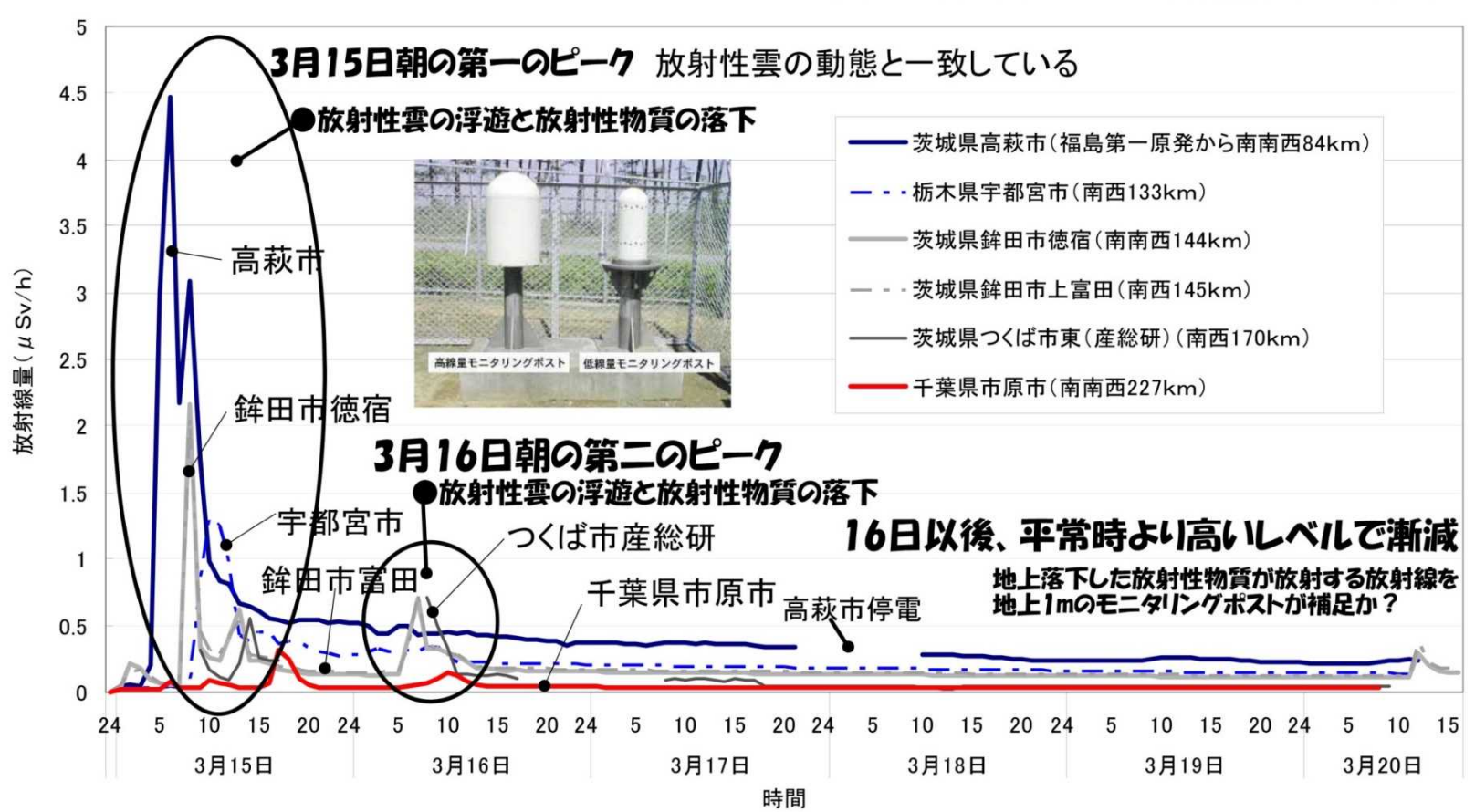
3月21日ニュース発行日に皮肉にも二度目のプルーム通過・沈着

[COOP JOSO NEWS LETTER 2011]

【震災・原発関連情報(3/20)】 2011.03.21

【福島原発汚染】茨城・栃木・千葉の地上部付近の放射線空間線量の推移比較

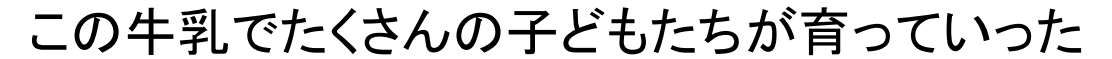
3/20、各地のモニタリングポイントのデータを商品部が整理しグラフ化



※つくば市産総研データは3/17までは夜間データなし。3/17以降連続データ。3階ベランダと地上の2点で測定。

【2】かえしてほしい 福島の生産地、山木屋牧場







福島第一原発から山木屋牧場を眺める































甲F147号証



2011年4月2日









牛のいなくなった牧場は

大学連合による調査区画に



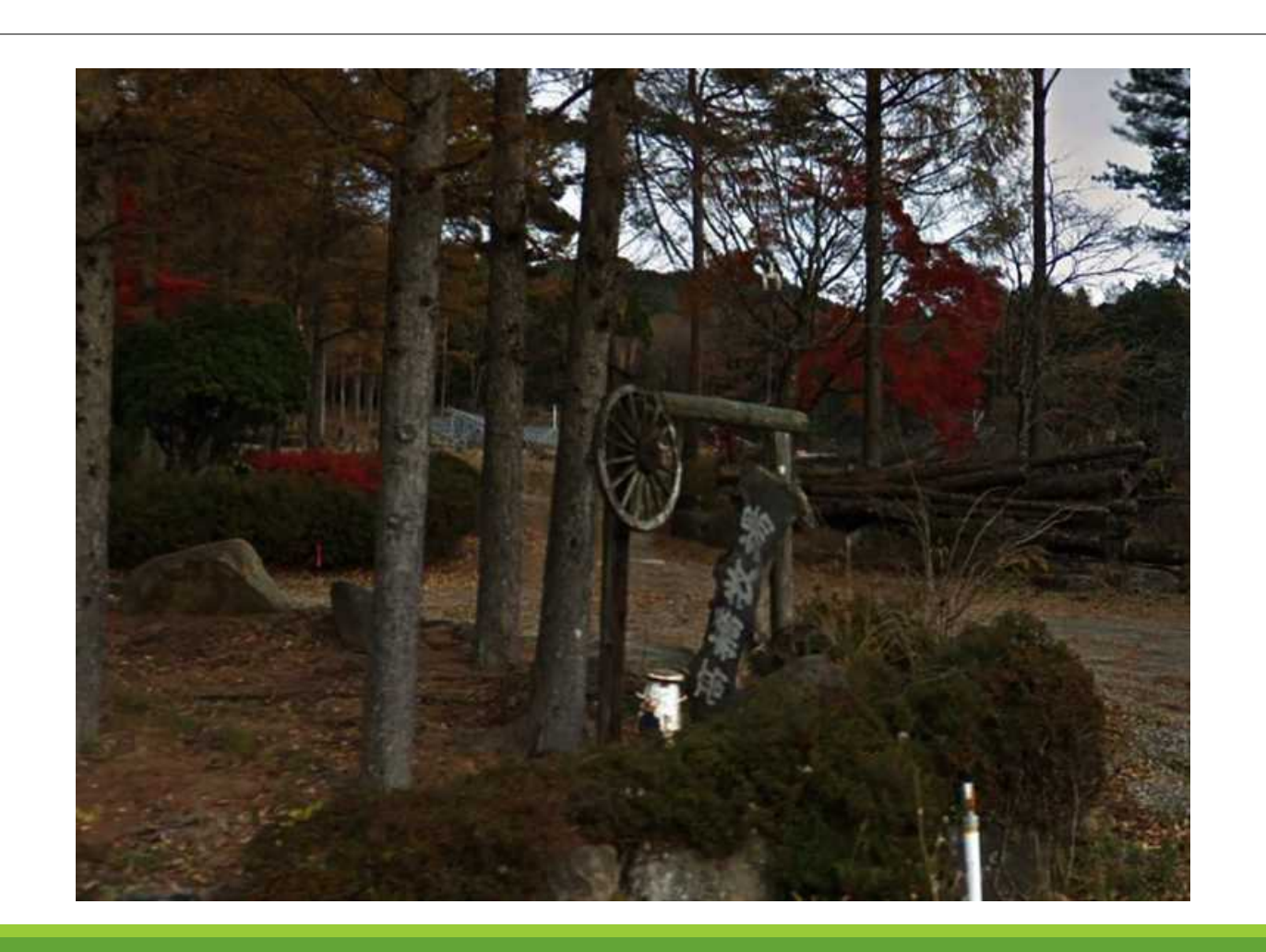




誰もいない牧場(2017)



わたしたちの牧場をかえしてほしい



【4】母乳検査とその顛末

- 失敗したとされる「初期被ばく線量評価」をめぐって
- 1月10日 原告花山さんの証言に寄せて

3月母乳検査

3/21~母乳検査…母乳を飲ませてよいか

- ○つくば市母親の母乳 3/24泌乳 6.4Bq/kg
- 。守谷市母親の母乳3/21~24泌乳 31.8Bq/kg
- ∘柏市母親 母乳 3/29~30泌乳 36.3Bq/kg

母乳調査の経緯

3/21~組合員へ母乳の提供呼びかけ、母乳調査開始。

常総生協による先行検査→4月はじめデータ出揃う。4/6、名古屋のチェルノブイリ救援・中部の支援の下「母乳調査・母子支援ネットワーク」結成。福島~関東の母乳50検体を検査。

4/2 厚労省母子保健課に東日本の母子の母乳検査を求める。「それは母子保健課の仕事ではない。文科省がやること」と

4/20 福島県庁にて母子支援ネットワークとして記者会見。関東での母乳検査結果発表とともに「福島の母子を早期に避難させて安全を確保すること、母乳の検査を実施すること」

4/21 枝野官房長官が厚労省に母乳調査を指示

4/24~厚労省第一次母乳調査

厚労省は事故後40日を経過して母乳からヨウ素が出るわけがないと踏んでいた節がある。福島市、郡山市の検体からは検出されず、いわき一笠間一水戸一千葉のラインの検体から検出され厚労省は慌てた。

5/8 厚労省第二次母乳調査

厚労省、日本産婦人科学会へその評価を依頼 → 7/26 産婦人科学会 英文論文をオンライン発表

母乳の放射性ヨウ素は呼吸から

(初期被ばく線量評価)気中放射能濃度のデータ

(東海村)日本原子力研究開発機構・核 燃料サイクル工学研究所(JAEA/NCL) のエアーサプラーのデータ **FD1NP** ・(つくば市)国立環境研究所のエアー 37N サプラーのデータ 36N ・(千葉市)千葉市の日本分析センター 35N のエアーサプラーのデータ 福島県外のダストサンプリング地点

甲F148号証

65.8 kg 50.8 kg **485** Αθνω/kg 629 NOUN/kg

Intake of radioactive substances by inhalation in Tokai-mura,Ibaraki (115km from the FDNPP) fom data of Japan Atomic Energy Agency(JAEA) 茨城県東海村(福島第一原発より115km)における吸入(呼吸)による放射性物質摂取量。JAEAの測定データより

JAEA is able to measure both the gaseous and particulate by Filter of low volume sampler (HE-401&CHC-50)、JAEAはローボリュームサンプラーでHE-401&CHC-50の二重のフィルターでガス状のヨウ素と粒子状(エアロゾル)のヨウ素両方を補足し1 February 2012 Joso Cooperative ※テルル(中滅期の204日) およびその機能権のコウ素102(中滅期2035時間)などの核種も検出されているが、とりあえずコウ素101(甲減期の20)とセシウム104/197で計算してみた。
2012.2 常総生活協同組合

the plume プルーム通過状	C	Piriod	Concentration	and hours 空気	「中の濃度と明	間
況	Source data データ出典	期間(時間)	I-131	Cs-134	Ca-137	
		361(m)/m3(m)/	(Bq/m²)	(Bq/ml)	(Bq/ml)	hours
	NCL1	3/14 17:36~3/15 3:00	23.000	1.400	10.000	3
	NCL2	3/15 3:00~3/15 6:00	120.000	9.000	11.000	3
	NCL3	3/15 6:00~3/15 9:07	1,600.000	180.000	190.000	3
1回目の プルーム通過	NCL4	3/15 9:07~3/15 15:22	39.000	3.200	3.800	4
(3/15~16)	NCL5	3/15 15:22~3/15 20:57	8.600	0.360	0.400	6
(3/13/10)	NCL6	3/15 20:57~3/16 2:52	8.100	0.320	0.350	6
	NCL7	3/16 2:52~3/16 9:00	400.000	4.800	5.800	6
	NCL8	3/16 9:00~3/16 20:56	35.000	0.310	0.340	12
	NCL9	3/16 20:56~3/17 9:00	6.800	0.087	0.098	12
	NCL10	3/17 9:00~3/17 20:56	1.600	0.084	0.110	12
	NCL11	3/17 20:56~3/18 8:54	1.500	0.085	0.077	12
	NCL12	3/18 8:54~3/18 21:10	3.000	0.089	0.110	12
	NCL13	3/18 21:10~3/19 9:00	7.400	0.180	0.210	12
	NCL14	3/19 9:00~3/19 20:56	4.800	0.084	0.098	12
	NCL15	3/19 20:56~3/20 8:57	6.300	0.094	0.099	12
	NCL16	3/20 8:57~3/20 20:58	18.000	2.800	3.400	12
	NCL17	3/20 20:58~3/21 5:56	740.000	130.000	160.000	12
2回目の	NCL18	3/21 5:56~3/21 8:55	400.000	26.000	31.000	12
プルーム通過	NCL19	3/21 8:55~3/21 12:00	120.000	5.200	6.300	12
(3/21日~22)	NCL20	3/21 12:00~3/21 21:10	130.000	1.600	1.900	12
	NCL21	3/21 21:10~3/22 9:00	55.000	0.430	0.510	12
	NCL22	3/22 9:00~3/22 21:00	63.000	0.530	0.600	12
	NCL23	3/22 21:00~3/23 9:00	6.200	0.160	0.160	12
	NCL24	3/23 9:00~3/23 21:00	21.000	0.190	0.220	12
	NCL25	3/23 21:00~3/24 9:00	2.400	0.110	0.140	12
	NCL26	3/24 9:00~3/24 21:00	5.300	0.190	0.210	12
	NCL27	3/24 21:00~3/25 9:00	4.600	0.250	0.300	12
	NCL28	3/25 9:00~3/25 21:00	7.200	0.220	0.260	12
	NCL29	3/25 21:00~3/26 9:00	3.900	0.150	0.160	12
	NCL30	3/26 9:00~3/26 21:00	0.960	0.200	0.210	12
	NCL31	3/26 21:00~3/27 9:00	0.850	0.150	0.180	12
	NCL32	3/27 9:00~3/27 21:00	0.860	0.110	0.120	12
	NCL33	3/27 21:00~3/28 9:00	1.200	0.110	0.120	12
	NCL34	3/28 9:00~3/28 21:00	1.300	0.110	0.110	12
	NCL35	3/28 21:00~3/29 9:00	2.000	0.170	0.190	12
	NCL36	3/29 9:00~3/29 21:00	1.500	0.110	0.120	12
	NCL37	3/29 21:00~ 3/30 9:00	3.100	0.110	1.300	12
	NCL38	3/30 9:00~3/30 21:00	6.300	2.700	3.200	12
	NCL39	3/30 21:00~3/31 9:00	3.700	0.940	0.110	12
	NCL40	3/31 9:00~3/31 21:00	0.490	0.004	0.110	12
	NCL41	3/31 21:00~4/1 9:00	0.430	0.000	0.000	12
Intake in March 3.F	中の吸入量	3/14 17:36~4/1 9:00				438

NCL42-75	4/1 9:00~5/23 9:00 累計	660
Intake of April 1st to	May 23 2011 2011年4日1日~5日23日の吸り	

【2011年3~6月の吸入被曝線量の推定】

Intake of March-June 2011 (integrated) 2011年3月~6月の吸入量(積算)

	ant(3mon .児(3ヶ月			nt(1year 功児(1歳			ld(5 year 子供(5歳			d(10 yea -供(10崩			d(15 year -供(15崩		Adult 成人			
呼吸量	2.86	m²/日	呼吸量	5.16	m/日	呼吸量	8.72	m/日	呼吸量	15.3	mi/日	呼吸量	20.1	ml/日	呼吸量	22.3	ml/日	
I-131	Cs-134	Ca-137	I-131	Cs-134	Ca-137	I-131	Cs-134	Cs-137	[-131	Cs-134	Cs-137	I-131	Ca-134	Cs-137	I-131	Ca-134	Cs-1	
(Bq)	(Bq)	(Bq)	(Bq)	(Bq)	(Bq)	(Bq)	(Bq)	(Bq)	(Bq)	(Bq)	(Bq)	(Bq)	(Bq)	(Bq)	(Ba)	(Bq)	(Bq)	
6.85	0.42	2.98	12.36	0.75	5.38	20.89	1.27	9.08	36.66	2.23	15.94	48.16	2.93	20.94	53.43	3.25	23.2	
42.90	3,22	3.93	77.40	5.81	7.10	130.80	9.81	11.99	229.50	17.21	21.04	301.50	22.61	27.64	334.50	25.09	30.6	
572,00	64,35	67,93	1,032.00	118,10	122,55	1,744.00	196,20	207,10	3,060.00	344,25	363,38	4,020.00	452,25	477,38	4,460.00	501,75	529,6	
16.27	1.33	1.58	29.35	2.41	2.86	49.60	4.07	4.83	87.02	7.14	8.48	114.32	9.38	11.14	126.83	10.41	12.3	
5.64	0.24	0.26	10.17	0.43	0.47	17.19	0.72	0.80	30.15	1.26	1.40	39.61	1.66	1.84	43.95	1.84	2,0	
5.79	0,23	0,25	10,45	0.41	0,45	17.66	0.70	0.76	30,98	1,22	1.34	40,70	1.61	1.76	45,16	1.78	1,8	
286.00	3.43	4.15	516.00	6.19	7.48	872.00	10.46	12.64	1,530,00	18.36	22.19	2,010.00	24.12	29.15	2,230.00	26.76	32.3	
50.05	0.44	0.48	90.30	0.80	0.88	152.60	1.35	1.48	267.75	2.37	2.60	351.75	3.12	3.42	390.25	3.46	3.7	
9.72	0.12	0.14	17.54	0.22	0.25	29.65	0.38	0.43	52.02	0.67	0.75	68.34	0.87	0.98	75.82	0.97	1.0	
2.29	0.12	0.16	4.13	0.22	0.28	6.98	0.37	0.48	12,24	0.64	0.84	16.08	0.84	1.11	17.84	0.94	1.3	
2.15	0.12	0.11	3.87	0.22	0.20	6.54	0.37	0.34	11.48	0.65	0.59	15.08	0.85	0.77	16.73	0.95	0.0	
4,29	0,13	0,16	7,74	0,23	0,28	13,08	0,39	0,48	22,95	0,68	0,84	30,15	0,89	1,11	33,45	0,99	1,3	
10.58	0.26	0.30	19.09	0.46	0.54	32.26	0.78	0.92	56.61	1.38	1.61	74.37	1.81	2.11	82.51	2.01	2.3	
6.86	0.12	0.14	12.38	0.22	0.25	20.93	0.37	0.43	36.72	0.64	0.75	48.24	0.84	0.98	53.52	0.94	1.0	
9,01	0,13	0,14	16,25	0,24	0,26	27,47	0,41	0,43	48,20	0,72	0,76	63,32	0,94	0,99	70,25	1,05	1,1	
25.74	4.00	4.86	46.44	7.22	8.77	78.48	12.21	14.82	137.70	21.42	26.01	180.90	28.14	34.17	200.70	31.22	37.5	
1.058.20	185.90	228.80	1,909.20	335.40	412.80	3.226.40	566.80	697.60	5.661.00	994.50	1,224,00	7,437.00	1.306.50	1,608,00	8.251.00	1.449.50	1,784	
572.00	37.18	44,33	1.032.00	67.08	79.98	1.744.00	113,36	135,16	3.060.00	198.90	237.15	4.020.00	261.30	311.55	4,460.00	289.90	345.	
171.60	7.44	9.01	309.60	13.42	16.25	523.20	22.67	27.47	918.00	39.78	48.20	1,206,00	52.26	63.32	1,338.00	57.98	70.	
185.90	2.29	2.72	335.40	4.13	4.90	566.80	6.98	8.28	994.50	12,24	14.54	1,306,50	16.08	19.10	1,449,50	17.84	21.	
78,65	0,61	0,73	141,90	1,11	1,32	239,80	1,87	2.22	420,75	3,29	3,90	552,75	4.32	5,13	613,25	4.79	5.6	
90.09	0.78	0.86	162.54	1.37	1.55	274.68	2.31	2.62	481.95	4.05	4.59	633.15	5.33	6.03	702.45	5.91	6.6	
8.87	0.23	0.23	16.00	0.41	0.41	27.03	0.70	0.70	47.43	1,22	1.22	62.31	1.61	1.61	69.13	1.78	1.3	
30.03	0.27	0,31	54,18	0.49	0.57	91,56	0,83	0,96	160.65	1,45	1,68	211,05	1.91	2,21	234,15	2,12	2.4	
3.43	0.18	0.20	6.19	0.28	0.36	10.46	0.48	0.81	18.36	0.84	1.07	24.12	1.11	1.41	26.76	1.23	1.5	
7.58	0.27	0.30	13.67	0.49	0.54	23.11	0.83	0.92	40.56	1,45	1.61	53.27	1.91	2.11	59.10	2.12	2.5	
6,58	0.36	0,43	11.87	0.65	0.77	20,06	1,09	1,31	35,19	1,91	2,30	46,23	2,51	3,02	51,29	2.79	3,	
10.30	0.31	0.37	18.58	0.57	0.87	31.39	0.96	1.13	55.08	1.68	1.99	72.36	2.21	2.61	80.28	2.45	2.5	
5.58	0.31	0.23	10.06	0.39	0.41	17.00	0.65	0.70	29.84	1.15	1.22	39.20	1.51	1.61	43,49	1.67	1.	
1.37	0.21	0.20	2.48	0.52	0.41	4.19	0.87	0.70	7.34	1.53	1.61	9.65	2.01	2.11	10,70	2.23	2.3	
1.22	0.29	0,30	2.19	0.39	0,34	3.71	0.65	0.78	8.50	1.15	1.38	8.54	1.51	1.81	9.48	1.67	2.5	
1.22	0.21	0.26	2.19	0.39	0.46			0.78	6.58	0.84	0.92	8.64		1.81	9.48	-	_	
	0.16			0.28		3.75 5.23	0.48				0.92	12.06	1.11			1,23	12	
1,72	77.00	0,17	3,10		0,31	5,23		0,52	9,18	0,84	200-00-20	110000000000000000000000000000000000000	1,11	1,21	13,38 14.50	1,23	1.3	
1.86	0.16	0.16 0.27	3.35 5.16	0.28	0.28 0.49	5.67 8.72	0.48 0.74	0.48	9.95 15.30	1.30	0.84 1.45	13.07 20.10	1.11	1.11	14.50 22.30	1.23	1.	
2.86	0.24	0.27	3.87	0.44	0.49	8.72 6.54	0.74	0.83	11.48	0.84	0.92	15.08	1.71	1.91	16,73	1.90	1.	
4.43	0,16	1,86	8.00	0,28	0,31 3,35	13.52	0,48	0,52 5.67	23.72	0,84	9.95	31.16	1,11	13.07	16,73 34,57	1,23	14.	
9.01	3.86	4.58	16.25	6.97	8.26	27.47	11.77	13.95	48.20	20.66	24.48	63,32	27.14	32.16	70.25	30.11	35.	
5,29	1,34	0,16	9,55	2,43	0,28	16,13	4,10	0,48	28,31	7,19	0,84	37,19	9,45	1,11	41,26	10,48	1.	
0.70	0.01	0.16	1.26	0.01	0.28	2.14	0.02	0.48	3.75	0.03	0.84	4.92	0.04	1.11	5.48	0.04	1.	
0.61	-0		1.11	1,-	-2	1.87		-,	3.29	-	0.70	4.32	-		4.79		-	
3,317	321	384	5,985	580	693	10,115	980	1,172	17747		2058	23,314	2,259	2,701	25.0	2,000		
2	4,023	(Bq)		7,259	(Bq)	12	2,266	(Bq)	2	1,522	(Bq)	28	3,274	(Bq)	3	1,369	(Bo	
44.52	13,26	15.04	80.33	23.93	27.13	135.75	40,44	45.85	238.18	100,000,000	80.46	312,91	93,21	105.70	347.16	5-200-201-201	-	
	73	(Bq)		131	(Bq)		222	(Bq)	I	390	(Ba)		512	(Ba)		568	(Bo	

Infant(3m	nonths)乳児	記(3ヶ月)	Infant(1)	year old) 幼	児(1歳)	Child(5	year old) 子	供(5歳)	Child(10	year old) 子	供(10歳)	Child(15	year old)子	供(15歳)		Adult成人	
I-131	Ca-134	Cs = 137	I-131	Cs-134	Cs-137	I-131	Ca-134	Cs-137	I-131	Ca-134	Ca-137	[-131	Ca -134	Cs-137	[-131	Ca = 134	Cs-137
(Bq)	(Bq)	(Ba)	(Bq)	(Bq)	(Bq)	(Bq)	(Bq)	(Bq)	(Bq)	(Bq)	(Bq)	(Bq)	(Bq)	(Bq)	(Ba)	(Bq)	(Ba)
3,362	335	399	6,066	604	721	10,250	1,020	1,218	17,985	1,790	2,137	23,627	2,352	2,807	26,213	2,609	3,114
	4,096	(Bq)		7,390	(Bq)		12,488	(Bq)		21,912	(Bq)		28,786	(Bq)		31,937	(Bq)

6.8 kg 6.3 kg **602** ^7016/kg **650** ^7016/kg 11.2 kg 10.1 kg 660 ^7\ull/kg 732 ^7\ull/ks 19.4 kg 18.5 kg **644** ^?bulv/kg **675** ^?bulv/kg 33.5 kg 34.3 kg **654** ^70\u00bb/kg **639** ^70\u00bb/kg 58.4 kg 50.8 kg **493** ~70,6/kg **567** ~70,6/kg

3月中の半月で大人(授乳中の母親)が呼吸で吸い込んだ放射性物質の量

茨城県東海村の母親 31,369ベクレル

(内ヨウ素131:25,866ベクレル)

茨城県つくば市の母親 3,181ベクレル

(内ヨウ素131:2,393ベクレル)

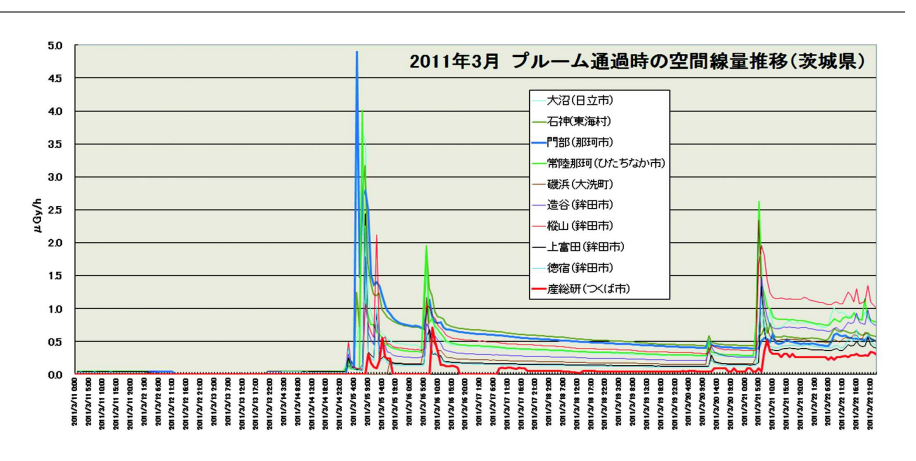
千葉県千葉市の母親 3,970ベクレル

(内ヨウ素131:3,329ベクレル)

3月15日、プルーム通過に対応できず 初期被ばく防護の失敗

3/15 東海村で空間線量の急上昇で原災法10条通報は8:15、テレビで報じられたのは9:48。 プルーム通過はその5時間前・2時間前の4:30と7:20だった。





3/15早朝のつくば市民(原告)から教育委員会への「児童の登校を中止に」の訴えも無視された。

東海村は3/15には まだ停電・断水が続いており、市民は水 をもらいに出ていた。 テレビも見ることなく 呼吸し、被ばくした。



【ハイリスクグループとしての乳児】

乳児(生後3ヶ月)が3月中の半月で呼吸(吸入)+母乳(経口)から取り込んだヨウ素131量の試算例 (大石)

茨城県東海村の乳児 約8,500ベクレル

自分の呼吸から: 3,317ベクレル

母乳から: 5,173ベクレル 25,866Bq(母親の吸入量)×20%(母乳への排出率)

茨城県つくば市の乳児 約770ベクレル

(呼吸:302ベクレル+母乳471ベクレル)

千葉県千葉市の乳児 約1,100ベクレル

(呼吸: 427ベクレル+母乳666ベクレル)

福島県の乳児は東海村の10~100倍のヨウ素131を取り込んでいるはず

~国は半減期8日のヨウ素131を1ヶ月~2ヶ月以上も経ってから測定~ 2011.4.24~5.31の厚労省母乳測定データ

母乳の測定データ (Bq/kg)

居住地	母乳の採取日	放射性ヨウ素 (¹³¹ I)	放射性セシウム (¹³⁴ Cs)	放射性セシウム (¹³⁷ Cs)
いわき市	①2011/4/25	3.5	N.D.	2.4
	②2011/5/8	N.D.	N.D.	N.D.
常陸大宮市	①2011/4/25	3.0	N.D.	N.D.
	②2011/5/9	N.D.	N.D.	N.D.
水戸市	①2011/4/25	8.0	N.D.	N.D.
	②2011/5/9	N.D.	N.D.	N.D.
下妻市	①2011/4/25	2.2	N.D.	N.D.
	②2011/5/15	N.D.	N.D.	N.D.
笠間市	①2011/4/24	2.3	N.D.	N.D.
	②2011/5/8	N.D.	N.D.	N.D.
笠間市	①2011/4/25	2.3	N.D.	N.D.
	②2011/5/8	N.D.	N.D.	N.D.
千葉市	①2011/4/25	2.3	N.D.	N.D.
	②2011/5/9	N.D.	N.D.	N.D.

厚労省から解析を委託された日本産婦人科学会は、本人に飲食の確認もせずに「母乳のヨウ素131の摂取経路は汚染された水道と野菜の摂取による」との英文論文を発表して世界に発信

私たちの守谷市・つくば市の組合員2名を名指して

"Since these two women may have consumed vegetables contaminated to an unknown extent, the major sources of 1311 were considered to be tap water and vegetables. If we assume that cases 25 and 26 consumed 200g of contaminated vegetables containing 100 Bq/kg 1311 and 1.0 L of tap water and produced 700 mL of milk daily, approximately 17–26% of the 1311 consumed by the mothers would have entered the milk."

この2人の女性はどれほど汚染されているかわからない野菜を摂取したかもしれないため、ヨウ素131の主たる原因は水道水および野菜であると考えられる。症例番号25と26の母親らが、ヨウ素131で100 Bq/kgに汚染された野菜200gを食べて水道水1リットルを飲み、1日700ミリリットルの母乳を産生したと仮定すると、母親らが摂取したヨウ素131の17~26%が母乳に移行したであろうと考えられる。

水と野菜からの摂取では母乳にこのような値は出ない

母乳から放射性ヨウ素131を検出した守谷市・柏市の母親からの飲食聞き取り調査もせず、勝手に汚染野菜・水を飲食したのが主因と決めつけ。

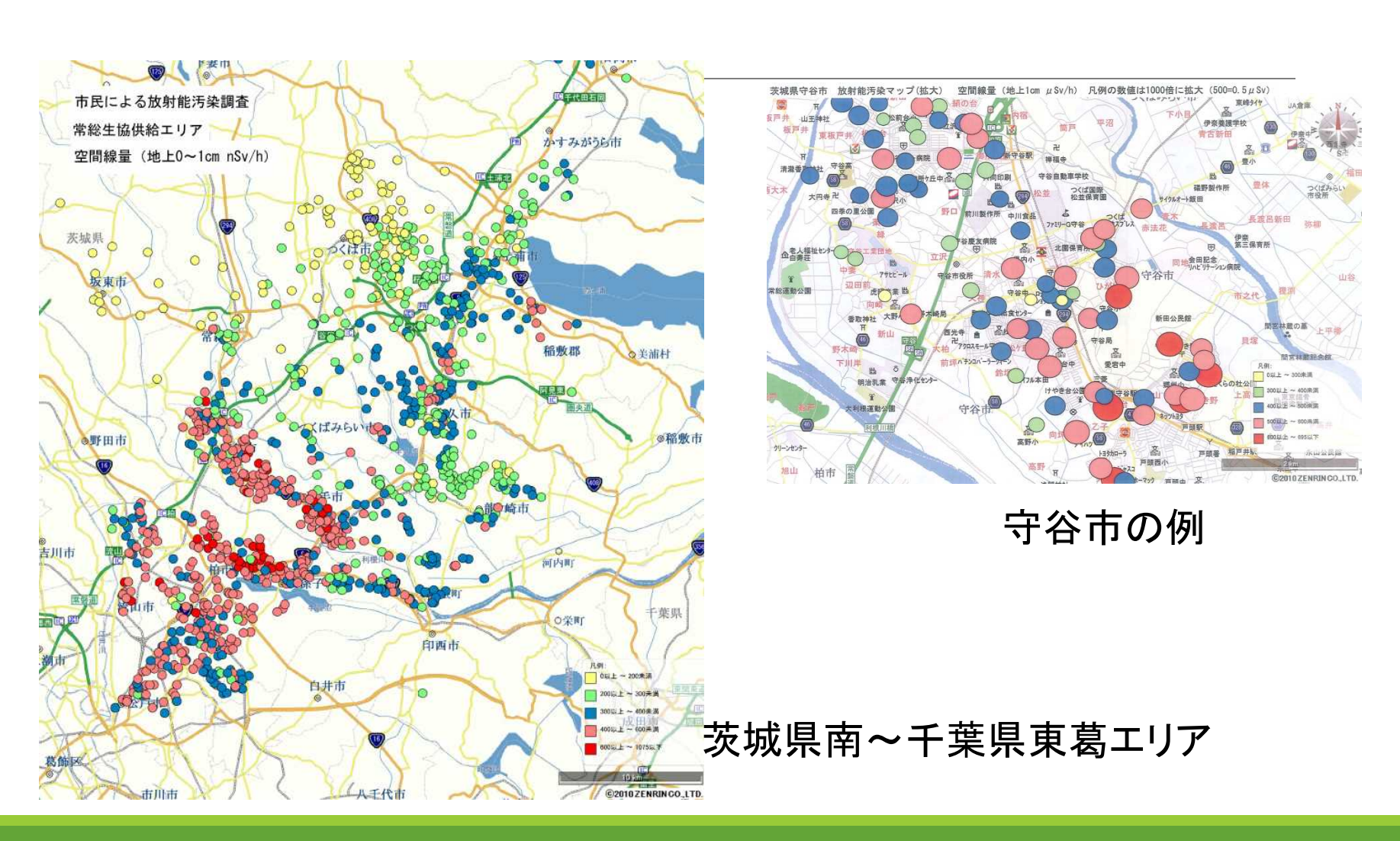
守谷の母親の母乳検体は3/21-22に母乳採取。守谷市水道水からヨウ素検出は3/23分から(80Bq/L)。

守谷の母親は生協から3/17供給された3/16収穫のホウレンソウ300gを家族でおひたしに。生協出荷停止(3/18)後の畑に残ったホウレンソウの放射能検査から3/15当時3,958Bq/kgと推定。3日間の減衰、調理除染、摂取量80gからすると母親はせいぜい150Bqのヨウ素131摂取。茨城県内葉物野菜は3/20より出荷停止措置。

3/21-22プルーム通過時空気中ヨウ素濃度は23Bq/m³(守谷から30kmつくば市国立環境研測定)。大人の呼吸量(22.3 m³/d)で2日間で<u>2,000Bqレベルのヨウ素131を吸入</u>していると推定される。

産婦人科学会論文は、母乳ヨウ素汚染経路を経口摂取のみとし、吸入被ばくをまったく考慮していない。

6月から「外部被ばく」の調査 地域1,000ヶ所の空間線量率調査



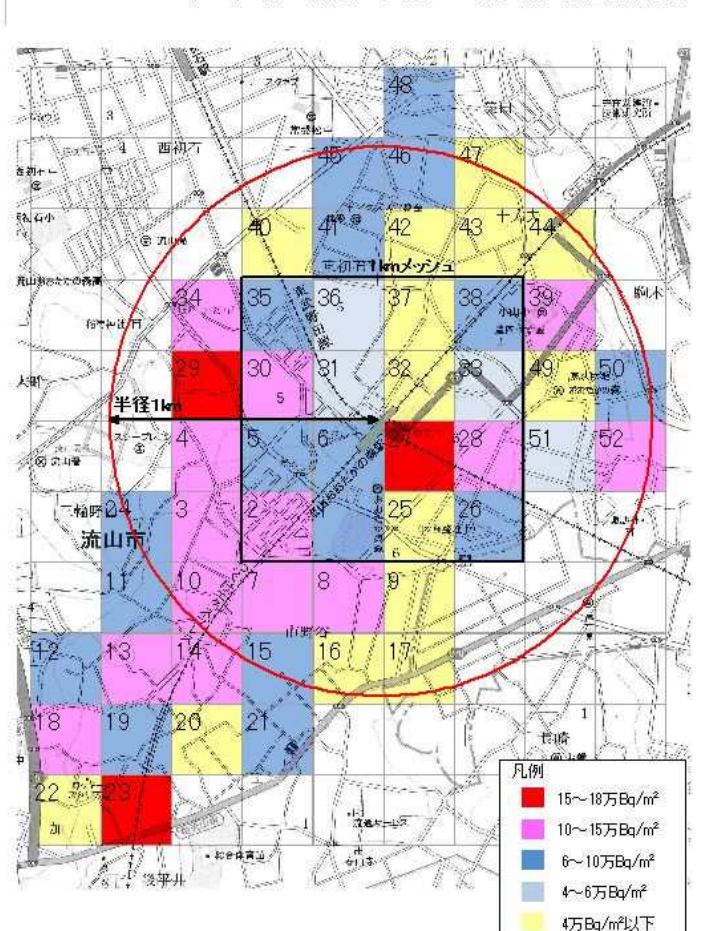
(外部被ばく)

10月~生協による土壌調査開始

流山市おおたかの森駅周辺 Cs137+ Cs134 土壌沈着量

(2011年 10月~12月採取 1メッシュ250m四方 制作 常総生活協同組合)

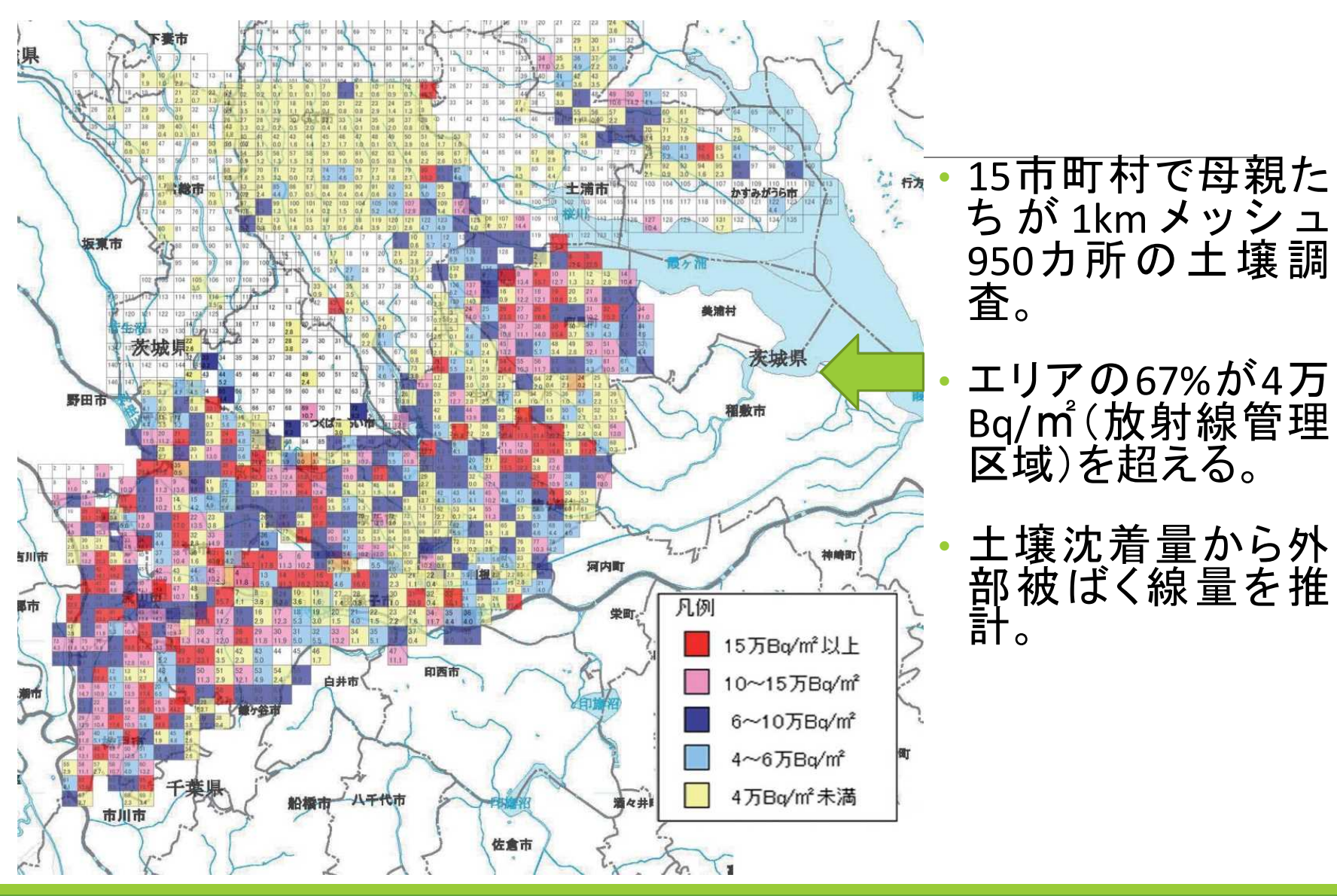
住民の組合員によって駅前マンション・住宅地周辺の土壌調査が行われた。



つくばエクスプレスと東武野田線が交差する流山おおたかの森駅中心にした半径1kmは、表面線源が平均6万6千Bq/㎡で、全域で法定の4万Bq/㎡を超えて「放射線管理区域」だった。

住民らはこの地図と共に流山市に特に 高い所の立ち入り禁止区域設定と除染 を申し入れた。

地域市民協同による本格土壌調査1000ヶ所



子どもたちが育つ間の10年間、この地で暮らした時の累積被ばく線量評価(土壌汚染調査より)

■千葉東葛地区~茨城県南部のホットスポットエリアにおける土壌沈着量と被ばく量の市民調査活動

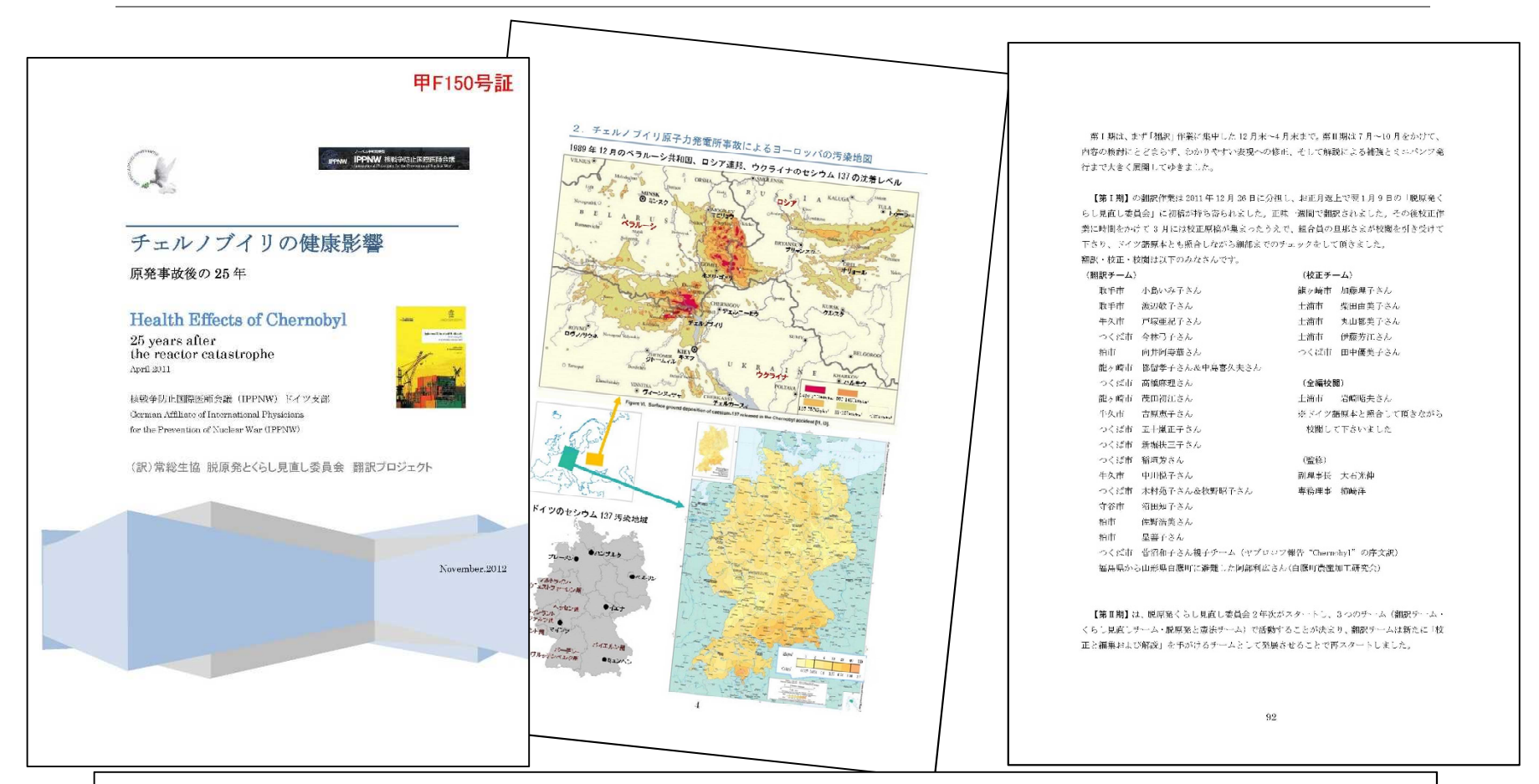
放射能	能土壤沈着量	上(市町	「村別)	サンフ	プル数	2011年	3月時	土壌	沈着	量		初至	F度被	曝線量	t		1年	後	2年	後	5年	後	10年	-後
県	市町村	面積	人口			土壌沈着(幾何)	最低	最高	4万B	q/m超	屋外	外8家16	最低	最高	1mSv/±	F以上の場 所	土壤沈着	被曝	土壤沈着	被曝	土壌沈着	被曝	土壤沈着	被曝
715	iliel43	(km')	(人)	かシュ数	(ヶ所)	(Bq/m²)	(Bq/m²)	(Bq/m²)	(ヶ所)	(%)	(mSv/年)	(mSv/年)			(ケ所)	(%)	(Bq/m¹)	(mSv/年)	(Bq/m²)	(mSv/年)	(Bq/m²)	(mSv/年)	(Bq/m²)	(mSv/年)
千葉県	流山市	35	166,000	81	75	81,325	3,546	750,409	62	82.7%	1.82	1.09	0.05	10.06	62	82.7%	68,439	0.92	58,992	0.79	42,848	0.57	32,661	0.44
茨城県	阿見町	71	48,000	65	65	80,559	9,461	344,145	55	84.6%	1.80	1.08	0.13	4.61	40	61.5%	68,246	0.91	59,202	0.79	43,662	0.59	33,667	0.45
千葉県	松戸市	61	483,600	69	85	68,692	5,872	441,918	65	76.5%	1.53	0.92	0.08	5.92	45	52.9%	57,797	0.77	49,810	0.67	36,164	0.48	27,558	0.37
千葉県	柏市	115	405,600	120	130	62,922	2,885	458,980	93	71.5%	1.41	0.84	0.04	6.15	64	49.2%	52,960	0.71	45,657	0.61	33,174	0.44	25,293	0.34
茨城県	龍ヶ崎市	78	80,000	85	98	55,558	146	322,194	70	71.4%	1.24	0.74	0.00	4.32	36	36.7%	46,787	0.63	40,357	0.54	29,360	0.39	22,407	0.03
千葉県	我孫子市	43	133,500	38	58	52,080	2,590	912,851	39	67.2%	1.16	0.76	0.03	12.23	27	46.6%	43,971	0.59	38,132	0.51	27,819	0.37	21,322	0.29
茨城県	守谷市	36	62,900	44	50	44,707	4,015	371,072	31	62.0%	1.00	0.60	0.05	4.97	15	30.0%	37,685	0.51	32,535	0.44	23,720	0.32	18,130	0.24
茨城県	利根町	25	17,300	31	28	39,067	1,387	271,452	14	50.0%	0.87	0.52	0.02	3.64	2	7.1%	32,947	0.44	28,458	0.38	20,774	0.28	15,894	0.21
茨城県	取手市	70	108,800	100	55	36,566	982	310,441	31	56.4%	0.82	0.49	0.01	4.16	18	32.7%	30,927	0.41	26,785	0.36	19,673	0.26	15,120	0.2
茨城県	牛久市	59	82,400	69	71	27,919	1,188	159,626	25	35.2%	0.62	0.37	0.02	2.14	9	12.7%	23,511	0.32	20,278	0.27	14,751	0.20	11,257	0.15
茨城県	つくば市(中央)	284	216,100	125	136	11,358	237	154,780	22	16.2%	0.25	0.15	0.00	2.07	5	3.7%	9,615	0.21	8,331	0.11	6,122	0.08	4,705	0.06
【サンブ	ル数が少な	い地[≖]	827	851				507	59.6%														

【サンノ	ル数が少な	ושני ט.	즈		_															_		_		
放射的	能土壤沈着量	上(市町	「村別)	サンフ	ル数	2011年3	3月時	土壌	沈着	量		年	間被明	暴線量	Ŀ		1年	後	2年	後	5年	後	1 0 ⁴	干後
県	市町村	面積	人口			土壌沈着(幾何)	最低	最高	4万Bd	q/m超	屋外	外8家16	最低	最高	1mSv/年	以上の場 所	土壤沈着	被曝	土壤沈着	被曝	土壤沈着	被曝	被曝	外8家 16
<i>T</i> K	(Inelt1	(km²)	(人)	わシュ数	(ヶ所)	(Bq/m²)	(Bq/m²)	(Bq/m²)	(ヶ所)	(%)	(mSv/年)	(mSv/年)			(ヶ所)	(%)	(Bq/m¹)	(mSv/年)	(Bq/m²)	(mSv/年)	(Bq/m²)	(mSv/年)	(Bq/m²)	(mSv/年
茨城県	つくばみらい市	79	45,200	91	16	47,431	10,886	180,073	8	50.0%	1.06	0.64	0.15	2.41	6	37.5%	39,932	0.54	34,434	0.46	25,033	0.34	19,093	0.26
茨城県	かすみがうら市	157	43,300	135	54	45,395	7,878	210,466	31	57.4%	1.01	0.61	0.11	2.82	14	25.9%	38,207	0.51	32,937	0.44	23,930	0.32	18,244	0.2
茨城県	土浦市	123	143,500	140	38	42,346	6,735	143,702	25	65.8%	0.95	0.57	0.09	1.93	12	31.6%	35,701	0.48	30,827	0.41	22,485	0.30	17,194	0.23
茨城県	常総市	124	64,700	148	25	10,420	1,095	51,830	1	4.0%	0.23	0.14	0.01	0.69	0	0.0%	8,854	0.12	7,696	0.1	5,690	0.08	4,389	0.06

984

チェルノブイリ原発事故の健康影響を学ぶ

~生協の母親たちによる医学レポート翻訳(2011-2012)~

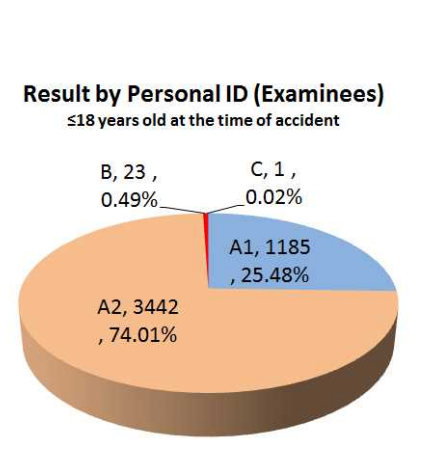


母親たちがどんな思いで翻訳したか「あとがき」をぜひ読んで頂きたい

甲F146号証

関東の子どもたちの甲状腺検診

2013.10月 関東の母親たちが「関東子ども健康調査支援基金」を立ち上げ。医師と協力して関東の子どもたちの甲状腺検診をスタート。





- ●昨年末原告本人尋問をおこなった那珂市の谷田部さんらが中心に
- ●2019年現在、のべ1万人の検診を実施

【5】東海第2原発は本当に安全なのか?

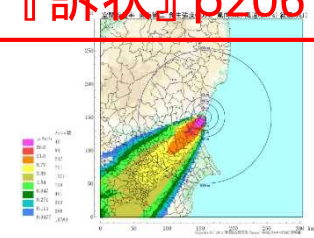
原告本人が作成した書面や書証について

原告本人(大石さん)が関わった主張や書証

- 1) シビアアクシデント事故シーケンスと放射性物質の到達時間
- 2) 経理的基礎がないこと
- 3) 老朽化問題~設計の陳腐化
- 4) 保安能力~同業他社に比して極端に高いトラブル発生率
- 5) 火山灰濃度の過小評価(赤城火山灰の東海第二敷地粒径分布)
- 6) 耐震裕度がないこと(圧力容器スタビライザの許容限界)
- 7) 基準地震動に係る英文論文の書証の翻訳

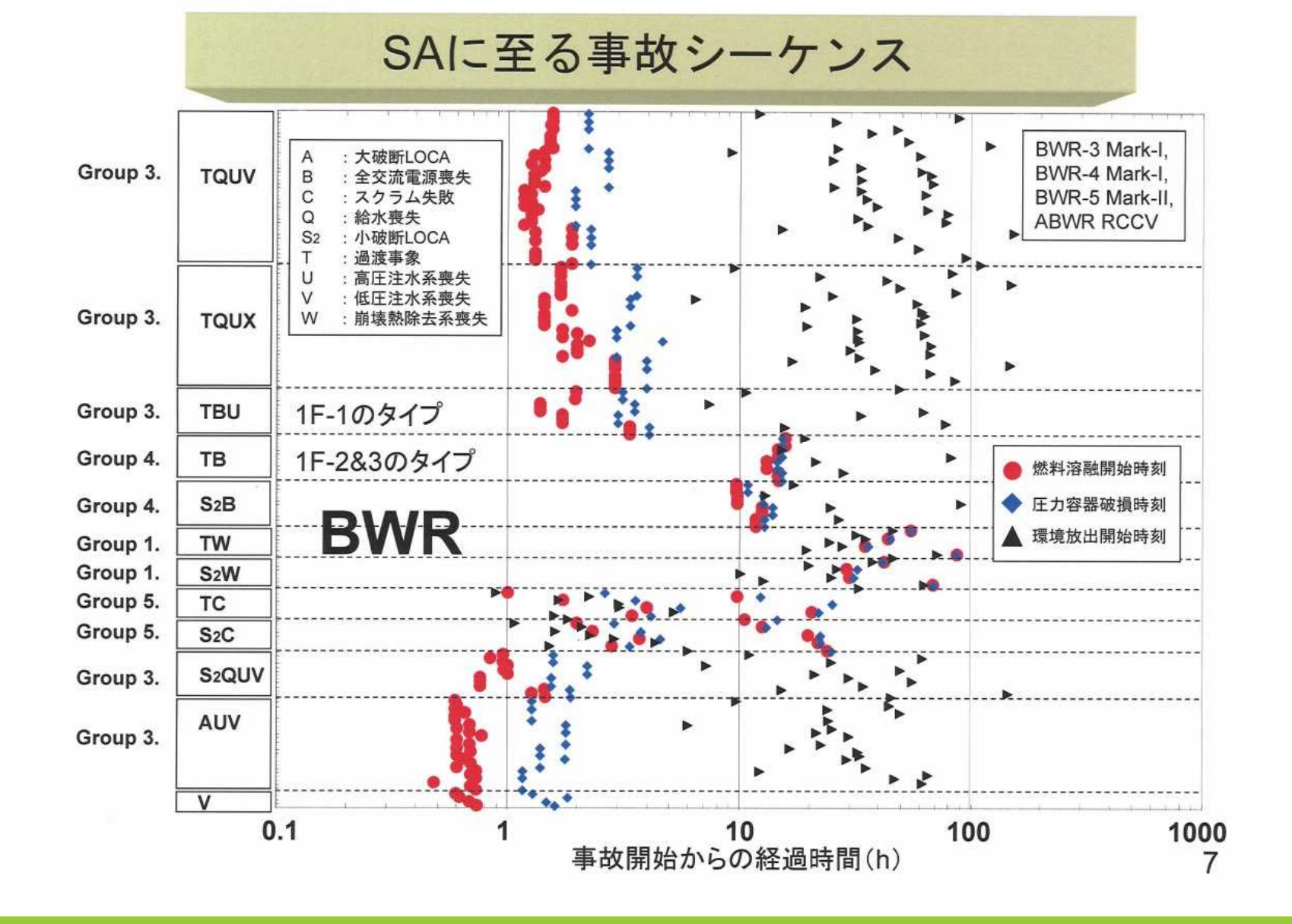
『訴状』p206

【避難の困難さ】東海第二シビアアクシデント発生 時のプルーム到達時間と空間線量率(『訴状』)



■東海第2原発シビアアクシデント発生時の環境放出プルーム到達時間と空間線量率(試算)

		事故発生	時刻				13	:00		
		風向]				北東	の風		
		風速(n	n/s)		2	2.0m/s(過ā	530年平均)	12m/s (2	2011/5/1)
事故 想定	シピ	・ アクシテ	・シトの種	種類	SA5(スクラム失敗 →冷却剤喪失)	SA2(注水系喪 失→冷却剤喪 失)	SA3(福島第一1 号炉と同様の場合)	SA4(福島第一 2,3号炉と同様 の場合)	SA5(スクラム失敗 →冷却剤喪失)	SA3(福島第一1 号炉と同様の場合)
	炉	心燃料棒溶		刻	同時進行↓	14:00	14:00	23:00	同時進行↓	14:00
		圧力容器破			同時進行↓	15:00	17:00	23:30	同時進行↓	17:00
		環境放出開	月始 時刻		14:00	17:00	19:00	0:00	14:00	19:00
区域	地点	所在地	距離(km)	空間線量率(max)	到達時刻	到達時刻	到達時刻	到達時刻	到達時刻	到達時刻
PAZ	東海村	5km圏内(PAZ)	5.0		14:41	17:41	19:41	0:41	14:06	19:06
UPZ	ひたちなか市	オフサイトセンター	10.7	50 μ Sv/h超	15:29	18:29	20:29	1:29	14:14	19:14
UPZ	水戸県庁	代替オフサイトセン ター	19.9		16:45	19:45	21:45	2:45	14:27	19:27
PPA	笠間市役所	友部	31.6	21 <i>μ</i> Sv/h	18:23	21:23	23:23	4:23	14:43	19:43
	土浦市役所	土浦市	58.3	21 <i>μ</i> Sv/h	22:05	1:05	3:05	8:05	15:20	20:20
50mS	つくば市役所	研究学園	66.6	21 <i>μ</i> Sv/h	23:15	2:15	4:15	9:15	15:32	20:32
v以下	柏市役所	柏市	88.8	8.8 <i>μ</i> Sv/h	2:20	5:20	7:20	12:20	16:03	21:03
として 防護	千葉県庁	千葉市	105.0	$3.7\mu\mathrm{Sv/h}$	4:35	7:35	9:35	14:35	16:25	21:25
措置 とらず	埼玉県庁	さいたま市	110.0	8.8 <i>μ</i> Sv/h	5:16	8:16	10:16	15:16	16:32	21:32
	東京駅	千代田区	115.5	8.8 <i>μ</i> Sv/h	6:02	9:02	11:02	16:02	16:40	21:40
	神奈川県庁	横浜市	141.6	$3.7\mu\mathrm{Sv/h}$	9:40	12:40	14:40	19:40	17:16	22:16



人口密集地、原子力施設密集の首都の原発





準備書面(2)(20)(61)

【経理的基礎】

平成24年(行夕)第15号東海第二原子为発電所選転盖止等請求事件 原告 大石 光伸 外265名 被告 国 外1名

準備書面(2)

2013年 (平成25年) 6月27日

水戸地方裁判所 民事第2部 御中

原告も訴訟代理人

介護上河 合 弘 之

諸前受金

資本金

純資産合計

利益剰余金

その他の流動負債

負債·資本合計

原告らは、本書面において、被告日本原電に経理的基礎が欠け、そのため原発災 書の防止に必要な対策を取ることができず、原発の安全性を保つための適切な維持 管理が行うことができず、原発災害時における生命・健康・財産の損失を補てんす ることができないため、原告らの人権権を侵害するおそれがあること等を主張する。

1

【表6】 全原発廃炉決断で資産圧縮 廃炉課程での費用を基本料で確保 【第57期】【第58期】【第59期】【第60期】【第61期】【第62期】 H25年度 H26年度 H27年度 H28年度 H29年度 H30年度 散底した資産圧縮で負債を減らす 26年3月期 27年3月期 28年3月期 29年3月期 30年3月期 31年3月期 備考 2013年度 2014年度 2015年度 2016年度 2017年度 2018年度 日本原電(株) 撮益推移 2014年3月期 2015年3月期 2016年3月期 2017年3月期 2018年3月期 2019年3月期 2016年東海第2も廃炉を決断して整理する場合 規制料金撤廃 売上高 廃炉判断を明確にした場合 1,248 1,205 経営収益 1.248 1 205 805 805 80 905 電力料収入 1,242 1,200 廃炉決断で経営信頼得て安定維持費800億円を確何 900 800 800 その他の収入 事業転換(廃炉専門会社案等)で別な収入源確保 経常費用 1.197 1,060 928 980 748 570 敦賀廃炉で分岐点は800、東海廃炉で分岐点500 人件費 136 120 100 90 90 廃炉作業続き人件費削減はこれが限度 燃料費 n n 0 減価償却費 304 300 300 500 300 150 廃止措置資産(除却仮勘定)の償却 修繕費 115 100 100 30 修繕費ももうかける必要がない 50 委託費 164 100 100 80 80 委託料は半減させてできるだけ自前で 普及開発関係費 0 0 ●廃棄物処理費 30 30 30 20 20 廃炉に伴う廃棄物の処理に移行する ●特定放射性廃棄物処分費(最終処分費用) 30 最終処分費用は見積もり不定だが不足分積立継続 30 30 15 94 バックエンド費用維持 〇バックエンド費用合計 75 75 60 60 ●使用済燃料再処理等費 →資金管理センター 37 10 再処理費の拠出も低減する ●使用資燃料再処理等準備費→内部留保 第2再処理工場準備金は積立停止 0 0 0 0 ■原子力発電施設解体費 53 50 50 東海第2解体引当金として費用化 50 50 ●損害保険料 3 3 2 2 稼働していないので低くなる ●原子力損害賠償支援機構一般負担金 85 85 85 50 35 廃炉に伴い減額 支払利息 22 17 13 16 長短借入額に対応 207 その他の費用は半減させる その他の費用 200 100 100 100 100 経常利益 72 145 Δ 23 Δ 175 57 235 特別損失 53 107 (下記数字前半敦賀分、後半東海第2分) 156 ■燃料売却損 53 加工中核燃料売却揭58:41 58 ■発電用資産、装荷核燃料除却損 発電用設備98.75、装荷中核燃料107.78 税引前純利益 18 145 Δ 23 Δ 331 △ 50 法人税等 14 58 Δ 331 41 A 363 87 △ 23 Δ 50 2013年度 2014年度 2015年度 2016年度 2017年度 2018年度 日本原電(株) 貸借対照推移 014年3月期 2015年3月期 2016年3月期 2017年3月期 2018年3月期 2019年3月期 6,430 5,200 固定資産の整理圧縮 電気事業固定資産 1 742 1.650 1.600 880 210 敦賀資産820億円、東海第2分666億円減 1,611 1,500 1.400 0 2016年度末に除却仮勘定へ振替 建設仮勘定 ■除却仮勘定(廃止措置資産→償却) 394 350 300 2,060 敦賀772億+建設仮1400を移転 1,164 1.160 加工中燃料568億円転売、東海分412億円も転売 核燃料 1.160 650 650 ●使用済燃料再処理等積立金 919 700 600 600 再処理積立金600億円は維持。処分は留保 781 780 70 原燃株303億円回収、雑口投資減400億円回収 長期投資 470 その他の固定資産 902 900 800 700 600 本社等の資産も順次整理してゆく 流動資産 832 590 332 237 240 700 現預金 122 60 82 37 売掛金 285 280 200 150 100 100 基本料収入の売掛金残高のみ残る 短期投資 215 210 180 50 50 50 関連会社のみの投資とする その他の流動資産 210 150 150 資産合計 4,053 資産は半分まで圧縮する 8.345 7,840 7,020 5,532 5,097 5.191 4.840 4.720 3.950 3.525 固定資産の半減化 固定負債 社債 400 400 長期借入金 ●使用済燃料再処理等引当金 317 240 195 返済期日にそって返済をすすめる 1.873 1,800 1.800 1.800 1,800 1.800 処分は留保 ●使用済燃料再処理等準備引当金 100 処分は留保 111 100 100 100 100 ■解体引当金→2010~資産除去債務 1,955 2,000 2,000 1,700 1 340 420 資産除去債務の減少に対応して取り崩し、解体費へ その他の固定負債 535 300 225 200 200 流動負債 135 流動負債の圧縮 1,520 1,279 602 215 255 1年以内期限到来固定負債 期日に対応して流動負債へ 45 45 45 65 45 短期借入金 1,050 964 287 短期借入は解消に向かう コマーシャル・ペーパー 負債 未払費用 本 210 100 100 50 30 規模縮小に伴う減少 関係会社短期債務 110 100 100 50 50 50 規模縮小に伴う減少

0

6,119

1.200

521

1.721

7.840

6,712

1 200

434

1.633

8.345

Ω

5,322

1 200

1.698

7.020

498

n

4,165

1 200

1.367

5.532

167

n

1 200

1.358

4.053

158

3,780

1,200

117

1.317

5.097

 20
 規模縮小に伴う減少

 2,695
 資産圧縮に対応して負債も大きく減少する

日本原電は現預金まで担保に取られている

日本原電の有利子負債・担保・債務保証の現状と今後

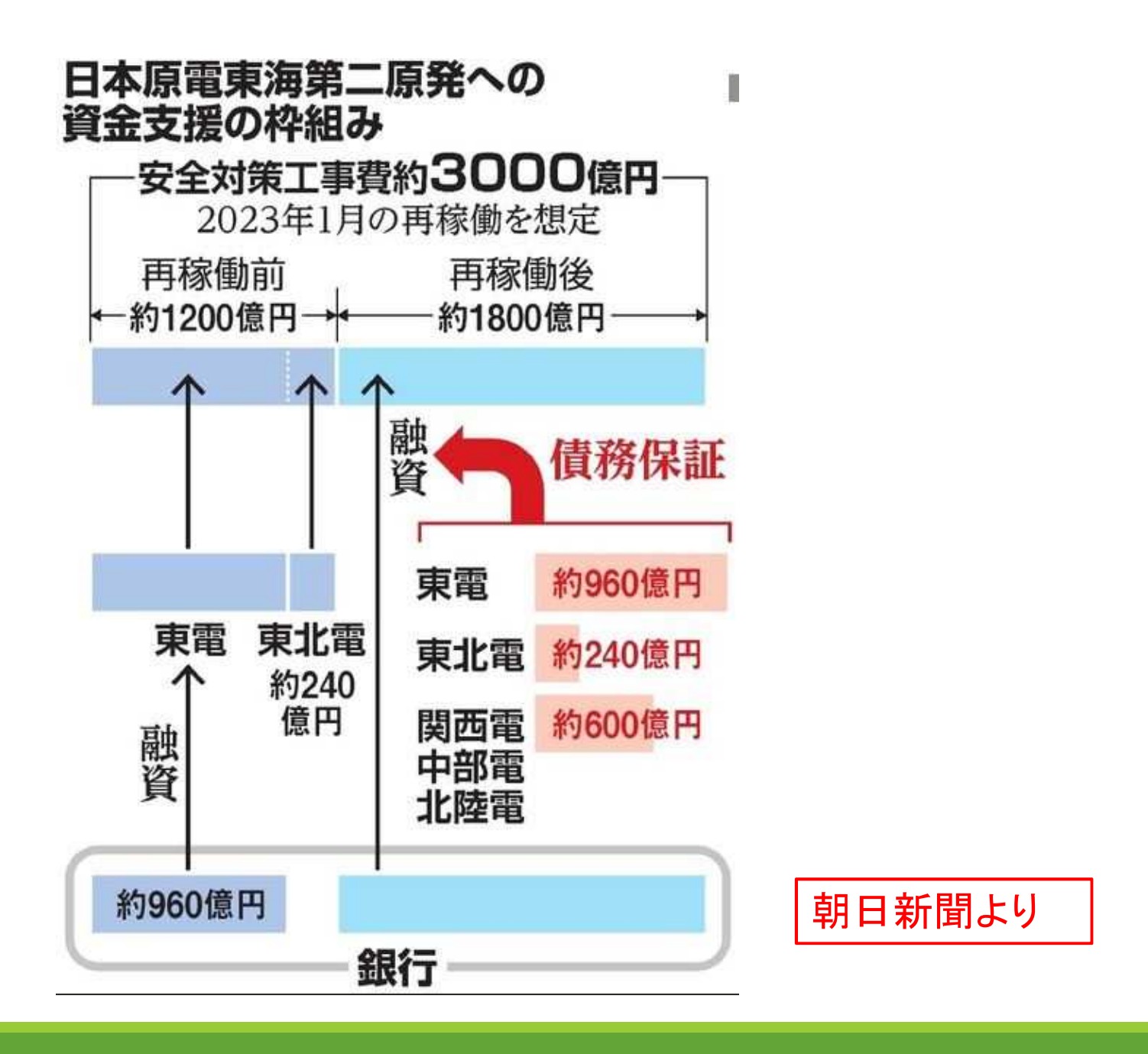
	借入	借入額	借入先	担保	債務保証
	短期借入	290億円	(株)日本政 策投資銀行 (固定金利)	総財産 307 (一般担保)	電力4社(東北電·中部電·北陸電· 関西電)
現在	短期借入	750億円	みずほ銀行 他(計12行) (変動金利)	なし	電力4社(東北電·中部電·北陸電· 関西電)
	長期借入金	227億円		株式・有価証 券など 147 現・預金 80	
立に	新 規 (変更許可)	1,740億円	東電·東北電 前払い	なし	
規	新 規 (特重施設 ほか)	1,200億円		なし	中部電・北陸電・ 関西電

「日本原電(株)」という企業 電力資本の「合同子会社」

1957年日本原電=原子力の国策民営・原発専業会社として電力9社+電源開発(国)の出資で設立 資本金1,200億円

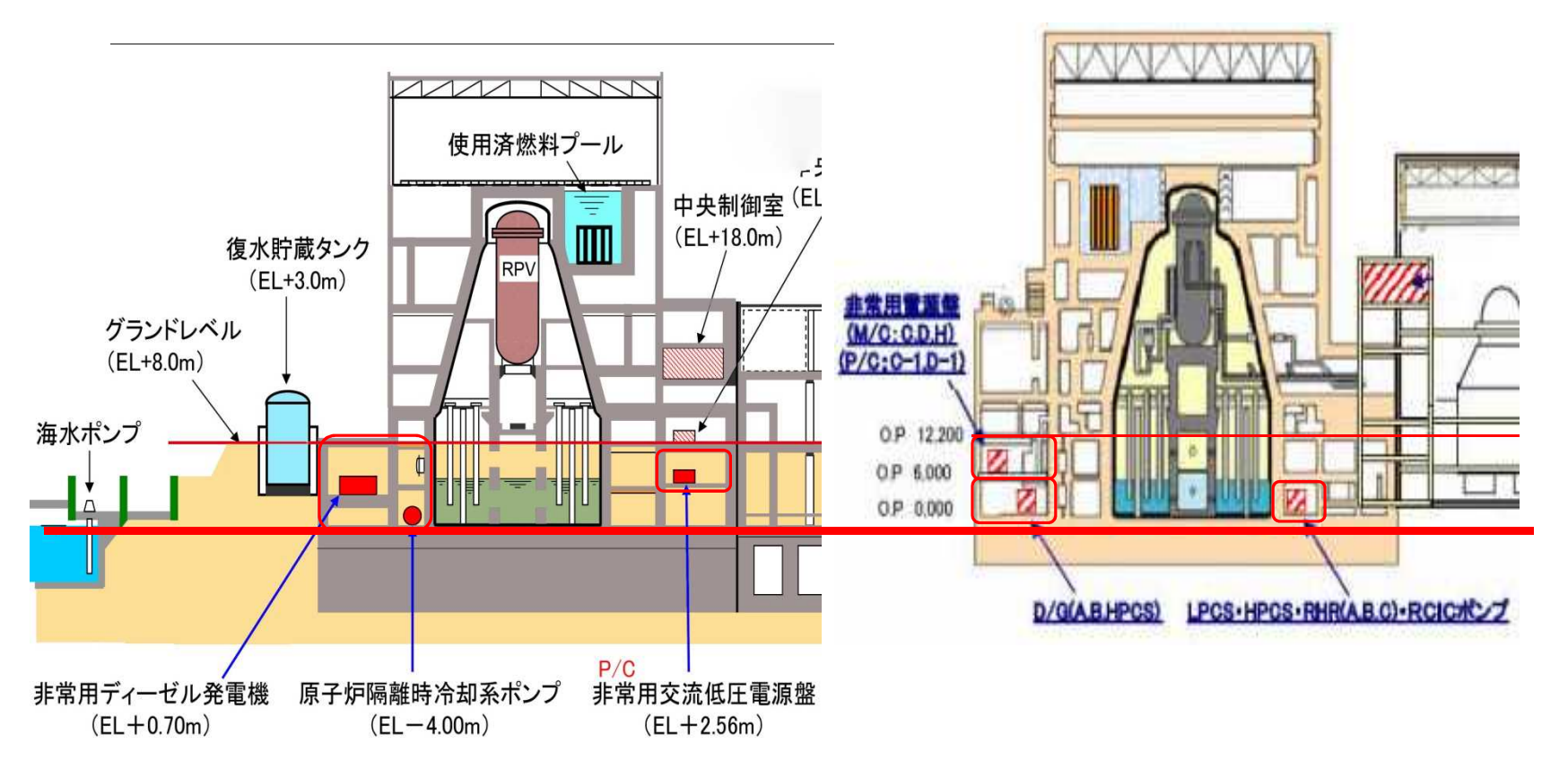


東京電力HD	338億円
関西電力	222億円
中部電力	181億円
北陸電力	156億円
東北電力	73億円
電源開発	64億円
九州電力	18億円
中国電力	15億円
日立製作所	12億円
みずほ銀行	9億円
三菱重工	8億円
北海道電力	8億円
四国電力	7億円



準備書面(48)p15

【設計の陳腐化】 福島同様地下にある安全設備 日本の津波を想定していない米GEの設計

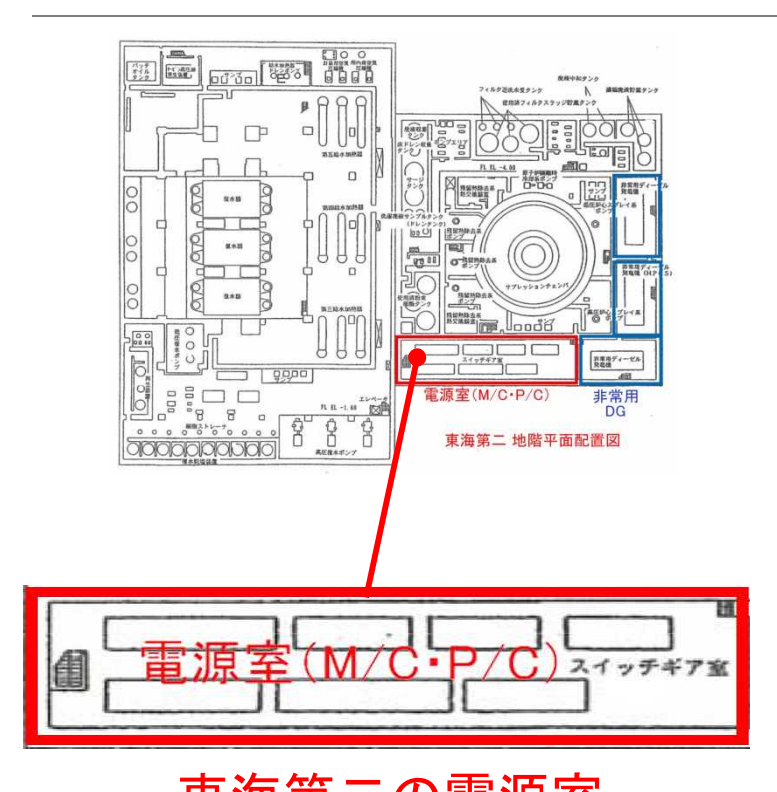


東海第二原発の電源室 非常用D/Gの設置高

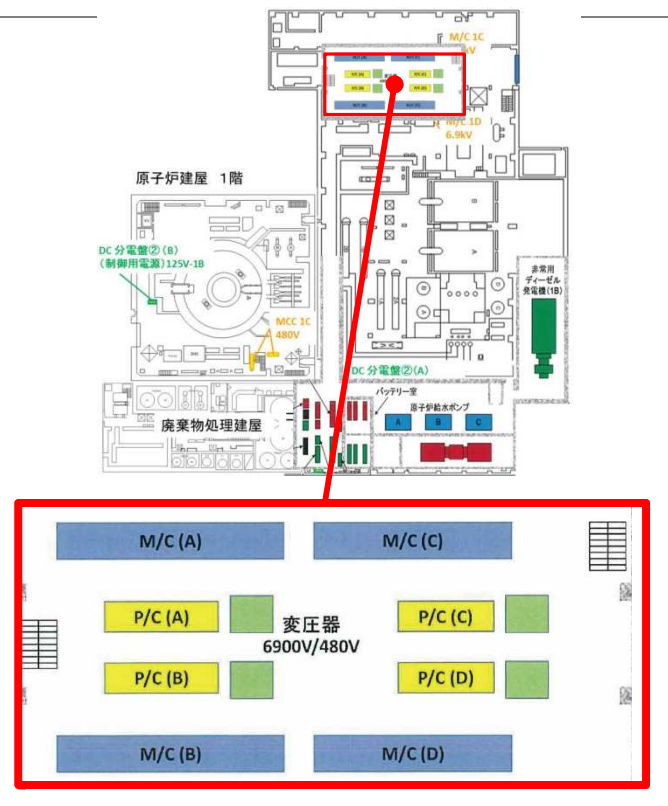
福島第一原発の電源室 非常用D/G設置高

1部屋の中に複数系統電源盤が集中

「分散配置」の設計思想がない時代の設計



東海第二の電源室 (1室に詰め込まれている)



福島第一の電源室(1室にあって同時喪失)

故障率が

を見落とさ

ないことが肝 心!

晚期劣化

損傷の多発

故障率が

一定

実際に観察さ れる故障率

ランダム故障

時間

故障率が

低下

トラブルがバスタブ曲線を描く老朽原発



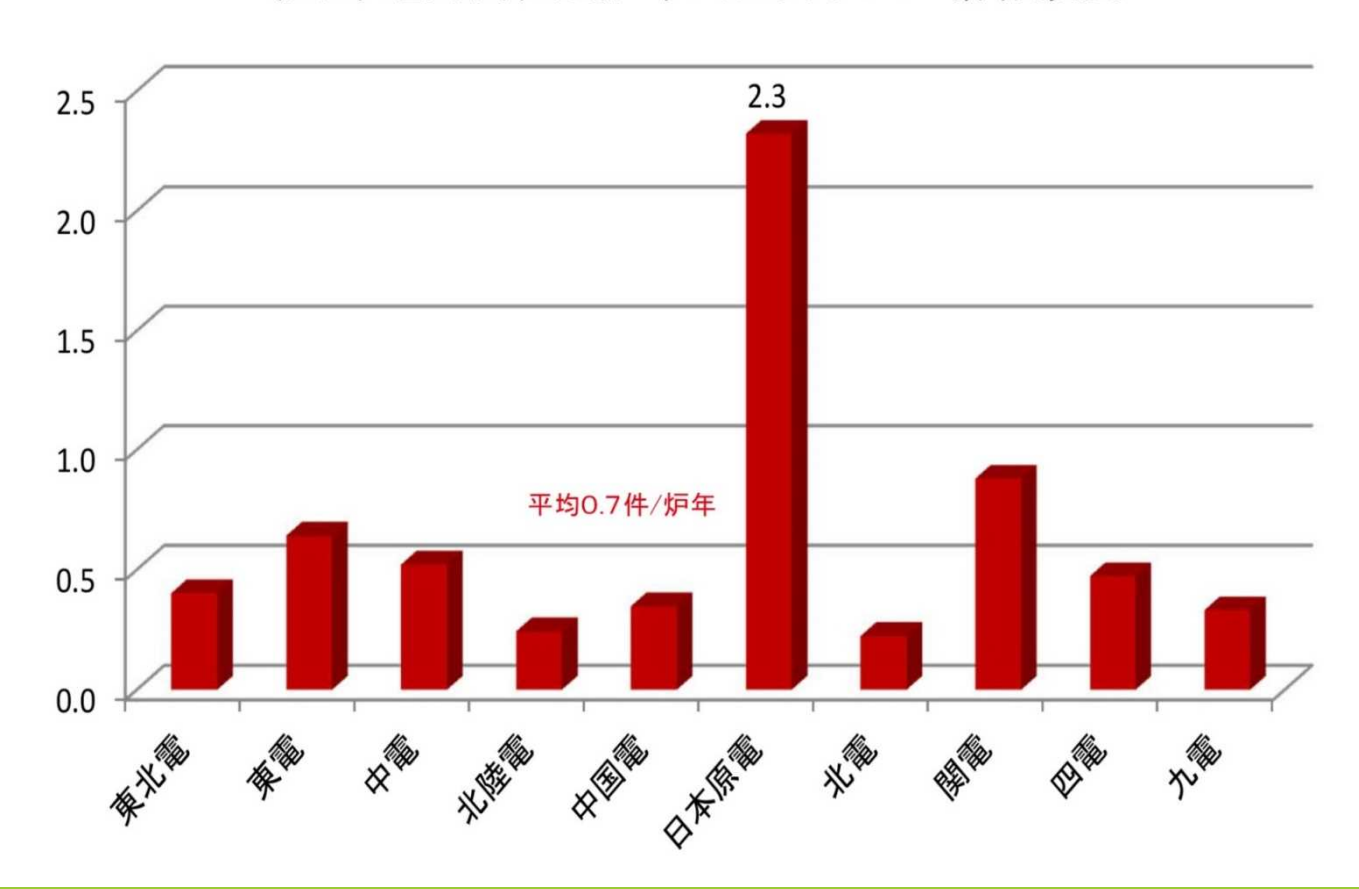


準備書面(41)p7

【保守管理能力】 日本ートラブルの多い会社

運転能力・会社の体質・管理能力を疑う

(図3)電力会社別炉年当たりトラブル情報頻度

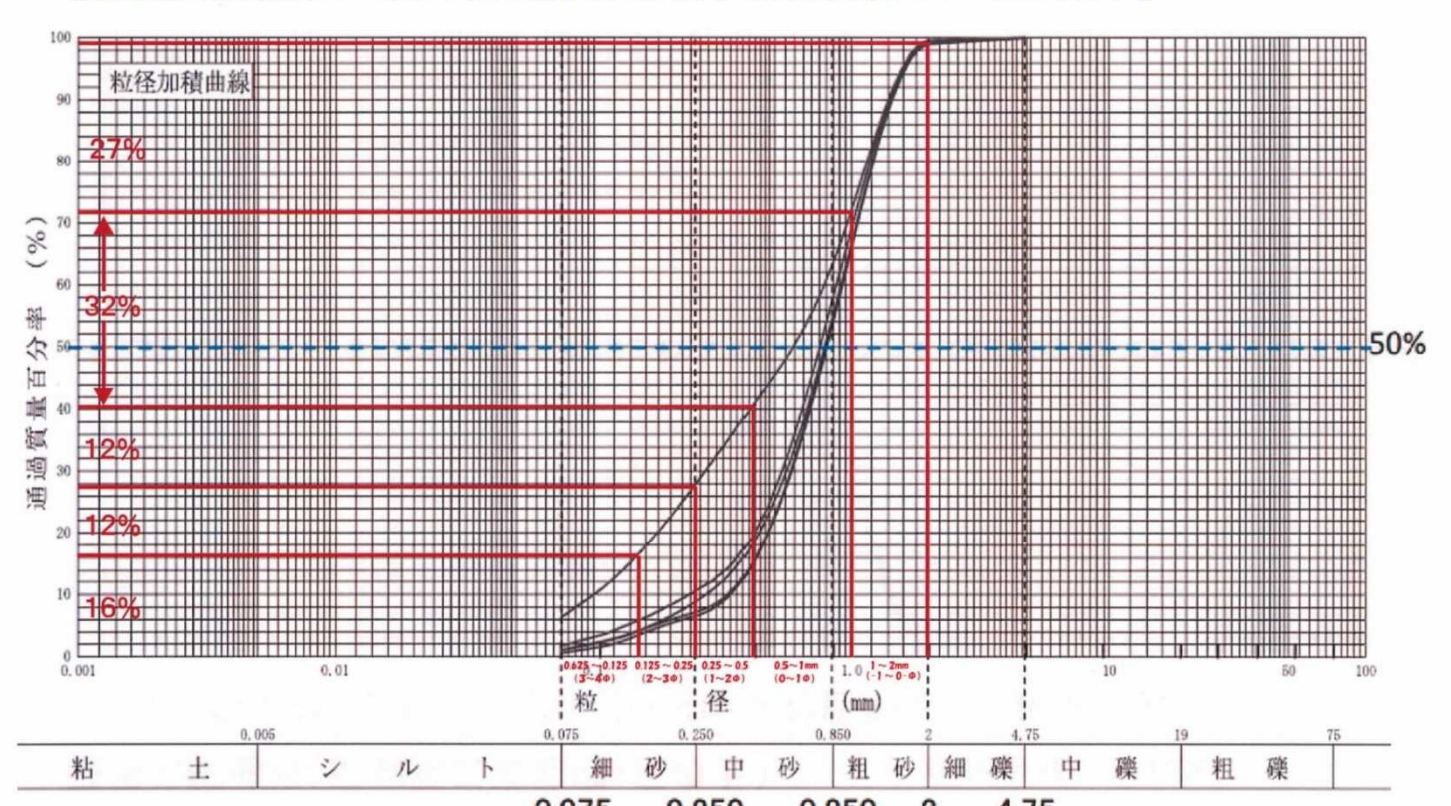


準備書面(82)甲D143号証

【火山灰濃度の過小評価】

赤城鹿沼テフラ実測値 東海第二敷地 上位曲線 粒径加積曲線(東海第二敷地内・丘の上) 密度max1.1g/cm²,min0.3g/cm²

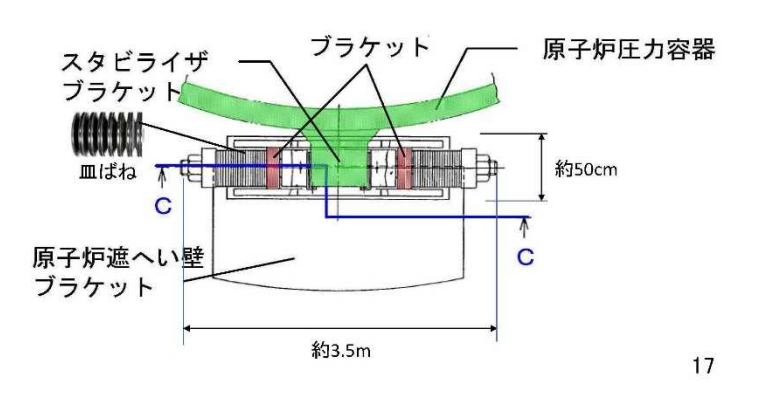
【粒度試験結果: 最大粒径約4.8mm(中央粒径約0.6~0.8mm)】



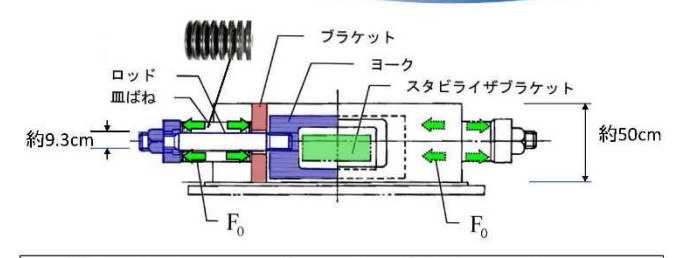
敷地に積もった赤城鹿沼火山灰層(テプラ) の粒径分布からの気中濃度は 5.1g/m²となる。被告日本原電による火山灰濃度3.5g/m²という想定は過小。

【炉心損傷に直結する圧力容器スタビライザ損傷】

圧力容器の凸部がスタビライザの 凹部に入り込んでいる



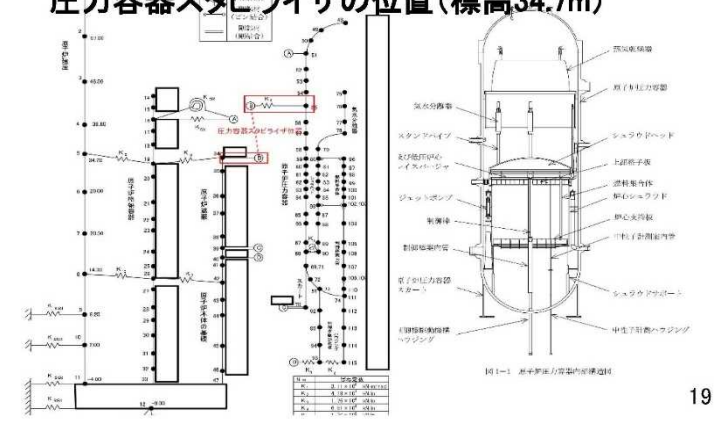
【1】ロッドが受ける「初期締付荷重



ロッド(軸)の断面積は0.00684㎡=68.4cm²で、直径は約93mm(9.3cm)。 ロッドは、一端がヨークに固定され、他端は皿ばねを挟んで外側からナットで 締め付け初期固定されている。皿ばねの反発力によってロッドに常に引張荷 重としてかかっている力が被告の言う「初期締付荷重」。

初期締付荷重F₀=1.69×10⁶ニュートン(N)・・・④

【2】スタビライザにかかる「地震荷重」 地震応答モデルにおける 圧力容器スタピライザの位置(標高34.7m)



基準地震動Ss-22(1009ガル)を受けた時の圧力容器スタビライザが受ける水平応答加速度は8.98m/s²(898ガル)・・・・① 地震応答解析

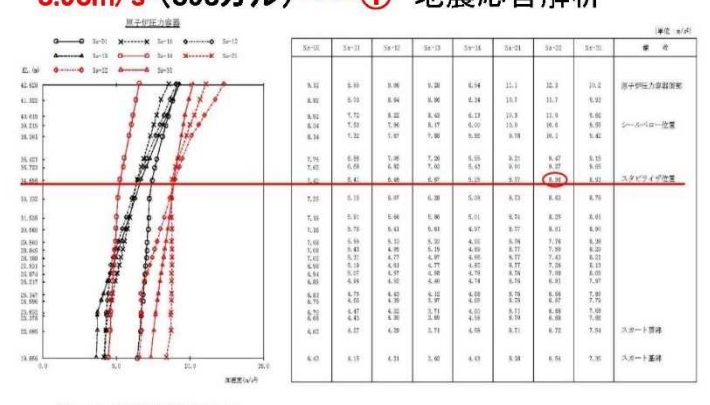
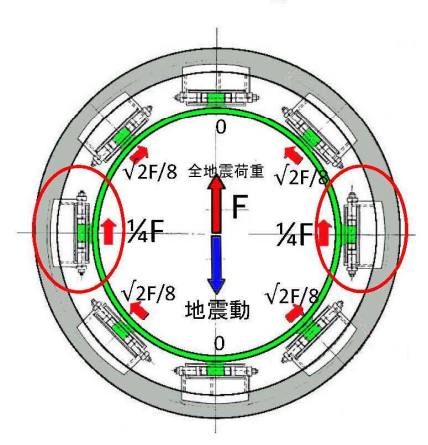


図 4-521 最大応答加速度(NS 方向)

8つのスタビライザで力を分散して受け止めると地震動方向と同一のスタビライザにかかる地震荷重F_Hは1/4F



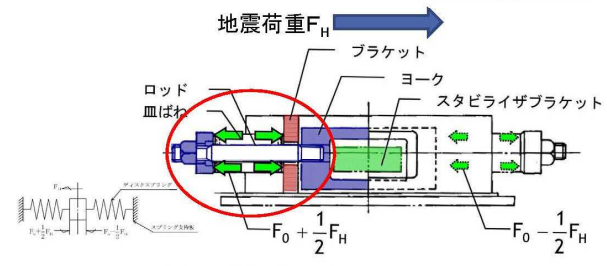
8つのスタビライザで 受ける全地震荷重 W_{H} は $W_{L}=8.98\times 10^{6}(N)\cdots 2$

最も加重を受けるスタビライザ への地震荷重 F_H $F_H = \%F = 1/4 \times 8.98 \times 10^6$ $= 2.24 \times 10^6$ (N) · · · · (3)

21

23

_{詩者} │準備書面<u>(86</u>)



 F_0 :初期締付荷重 F_H :地震荷重

ロッドにかかる荷重 W_R =初期締付荷重 F_0 ④+地震荷重 F_H ③の1/2 W_R = F_0 + $\frac{1}{2}$ ・ F_H =(1.69×10⁶)+ $\frac{1}{2}$ ・(2.24×10⁶)
= 2.81×10⁶(N)・・・5

22

ロッドにかかる発生値[MPa]

●ロッドにかかる荷重 2.81×10^6 (N)・・・⑤は単位がニュートン(N=kg·m/s²)なので、これを「㎡当たりの圧力」(Pa=N/㎡)に換算するには、ロッドにかかる荷重をロッドの断面積A(㎡)で割ってやる

引張応力
$$\sigma_t = \frac{(ロッドにかかる荷重)}{(ロッドの断面積)} = \frac{W_R}{A}$$

ロッドの断面積Aは0.00684㎡(6.84×10⁻³㎡)なので

引張応力
$$\sigma_t = \frac{2.81 \times 10^6}{6.84 \times 10^3} = 410.8 \times 10^6 \, \text{Pa}$$

$$= 410 \, \text{MPa} \cdots 6$$

(2)「許容値」の計算

24

【基準地震動】倉橋・入倉論文(2013)の翻訳

Bulletin of the Seismological Society of America, Vol. 103, No. 2B, pp. 1373-1393, May 2013, doi: 10.1785/0120120157

Short-Period Source Model of the 2011 M_{yy} 9.0 Off the Pacific Coast of Tohoku Earthquake

by Susumu Kurahashi and Kojiro Irikura

Abstract We have constructed a short-period source model for the 2011 M_{w} 9.0 Off the Pacific Coast of Tohoku earthquake using strong-motion records at stations near the source fault. The observed strong motions contain five wavepackets that correspond to specific strong-motion generation areas (SMGAs). The origins of the wavepackets were retrieved from the original seismograms using a semblance analysis. We determine the locations of the SMGAs based on sources extracted from the corresponding wavepackets. The short-period source model consists of five SMGAs (SMGA1-5), which are located west of the hypocenter and along the down-dip edge of the source fault. SMGA1 is located in the Miyagi-Oki source region west of the hypocenter, SMGA2 in the middle Sanriku-Oki source region north of the hypocenter, and SMGA3 in the southern Sanriku-Oki source region west of the hypocenter. SMGA4 and SMGA5 are located near the down-dip edge of the mainshock source fault, extending from offshore Fukushima prefecture to offshore Ibaraki prefecture. At some stations near the source fault, impulsive waves are also seen on the recorded seismograms. Ground motions corresponding to these impulsive waves cannot be accounted for using the conventional uniform SMGA model. We attempt instead to simulate the observed ground motions at the Onagawa Nuclear Power Plant at a depth of 128 m very near the source fault, using a heterogeneous source model. The impulsive waves are well simulated using the heterogeneous model with higher stress parameters within a small subarea inside the SMGAs.

Introduction

the Pacific coast of Tohoku, Japan. This was one of the largest earthquakes in terms of magnitude and consequences in the history of Japan. The huge tsunami generated by this earthquake struck the east coast along Tohoku, causing the deaths or disappearances of 19,000 people (Fire and Disaster Management Agency, 2012; see Data and Resources). The waves exhibit some variability and some notably dissimilar tsunami's waves were also responsible for severe accidents at the nuclear reactors at the Fukushima Dajichi Nuclear Power Plant (NPP), which exacerbated the scope of the dismotion, and geodetic datasets, using a source-fault model aster. More than 120,000 buildings were destroyed, and more than 240,000 partially collapsed.

Damage to the buildings in the region was caused mostly by the tsunami, with relatively little damage caused by tremors associated with the earthquake. In fact, one of the many unique features of the Tohoku earthquake was the relatively small amount of damage caused by ground motion. This may be due to the characteristics of the strong ground Japan Trench. motions, which are, in turn, likely related to the rupture proc-

Slip-distribution models for the 2011 earthquake were obtained shortly after the event using teleseismic, geodetic,

On 11 March 2011, an M_w 9.0 earthquake occurred off and tsunami data (e.g., Fujii et al., 2011; Ide et al., 2011; Ozawa et al., 2011; Yagi and Fukahata, 2011; Yamanaka, 2011; see Data and Resources). The Global Positioning System (GPS) and tsunami inversions reveal areas of large slip east of the earthquake's hypocenter, towards the Japan Trench. The slip distributions from broadband teleseismic P features. A unified source model was constructed by Koketsu et al. (2011) via the joint inversion of teleseismic, strongadopted on the basis of the distribution of aftershocks during the first 24 hours after the earthquake. Yokota et al. (2011) extended the unified model by incorporating a fourth dataset comprising tsunami data. Their results showed that the main rupture propagated not only in the strike direction but also in the dip direction, and extended into both the deep area called the Miyagi-Oki region and the compact shallow area near the

> Separate inversions of strong-motion, teleseismic, geodetic, and tsunami data tend to show frequency-dependent rupture processes. Relatively short-period generations obtained from strong-motion and teleseismic data are located

toaded from https://pubs.geoscienceworld.org/sse/ossetarticle-pdf/103/2B/1373/2869641/1373.pdf

Short-Period Source Model of the 2011 Mw 9.0 Off the Pacific Coast of Tohoku Earthquake

1373

Bulletin of the Seismological Society of America, Vol. 103, No. 28, pp. 1373-1393, May 2013, doi: 10.1785/0120120157

2011 年 Mw9.0 東北地方太平洋沖地震の短周期震源モデル 倉橋奨・入倉孝次郎

抄録 我々は震源断層近くの観測点における強震記録を用いて 2011 年東北地方太平洋沖地 震の短周期震源モデルを構築した。観測された強振動には、特定の強震動生成域(SMGA) に対応する5つのウェーブパケット(波群)を含んでいる。ウェーブパケットの発生場所は、 センブランス解析を用いて震源地震記録から推定した。

SMGAの位置は、対応するウェーブパケットから抽出された情報にもとづいて決定し た。無周期震瀬モデルは、震瀬の西側で震瀬断層の下降端に沿って位置する5つのSMG A (SMGA1~5) からなる。 SMGA1は震源よりも西側の宮城沖の震源域に、SM GA2は震源の北側の中央三陸沖の震源域に、そしてSMGA3は震源の西側にある南三 陸沖の震源域に位置している。SMGA4とSMGA5は福島県沖から茨城県沖にかけて の震源断層の沈み込みの縁付近に位置している。震源断層近くのいくつかの観測点では、 記録された地震記録にパルス波形(衝撃状の波形)が見られる。

これらのパルス波に対応する地震動は従来の「均質なSMGAモデル」では再現できない。 代わりに「不均質な震源モデル」を用いて震源断層のすぐ近くの女川原子力発電所の深さ 128mで観測された地震動をシミュレーションすることを試みた。パルス波はSMGA内の 小さなサブエリア内でより高い応力パラメータを持つ「不均質モデル」を使用することで 良く再現できる。

(+1° k)(-

が発生した。これは日本の歴史において地震の規模に があることを示している。広域帯のP波から推定され おいても影響の点でも最大の地震のひとつである。こ たすべり分布は複数の変動と顕著に異なる特徴を示し の地震で発生した巨大な津波が東北沿岸を襲い、1万9 ている。「均質な震源モデル」は纐纈らによって、地震 千人が死亡または行方不明となった(消防庁 2012年。 後最初の24 時間の余歳の分布にもとづく震滅断層モデ データとリソース参照)。津波は福島第一原子力発電所 ルを使用して,広帯域地震記録,強扱動記録,および の深刻な事故の原因となり災害の範囲を拡大させた。 測地データを同時にインバージョン解析することで樗 12 万戸以上の建物が破壊され,24 万戸以上の建物が部 築された (2011)。横田6 (2011) は、津波データを含 分的に倒壊した。

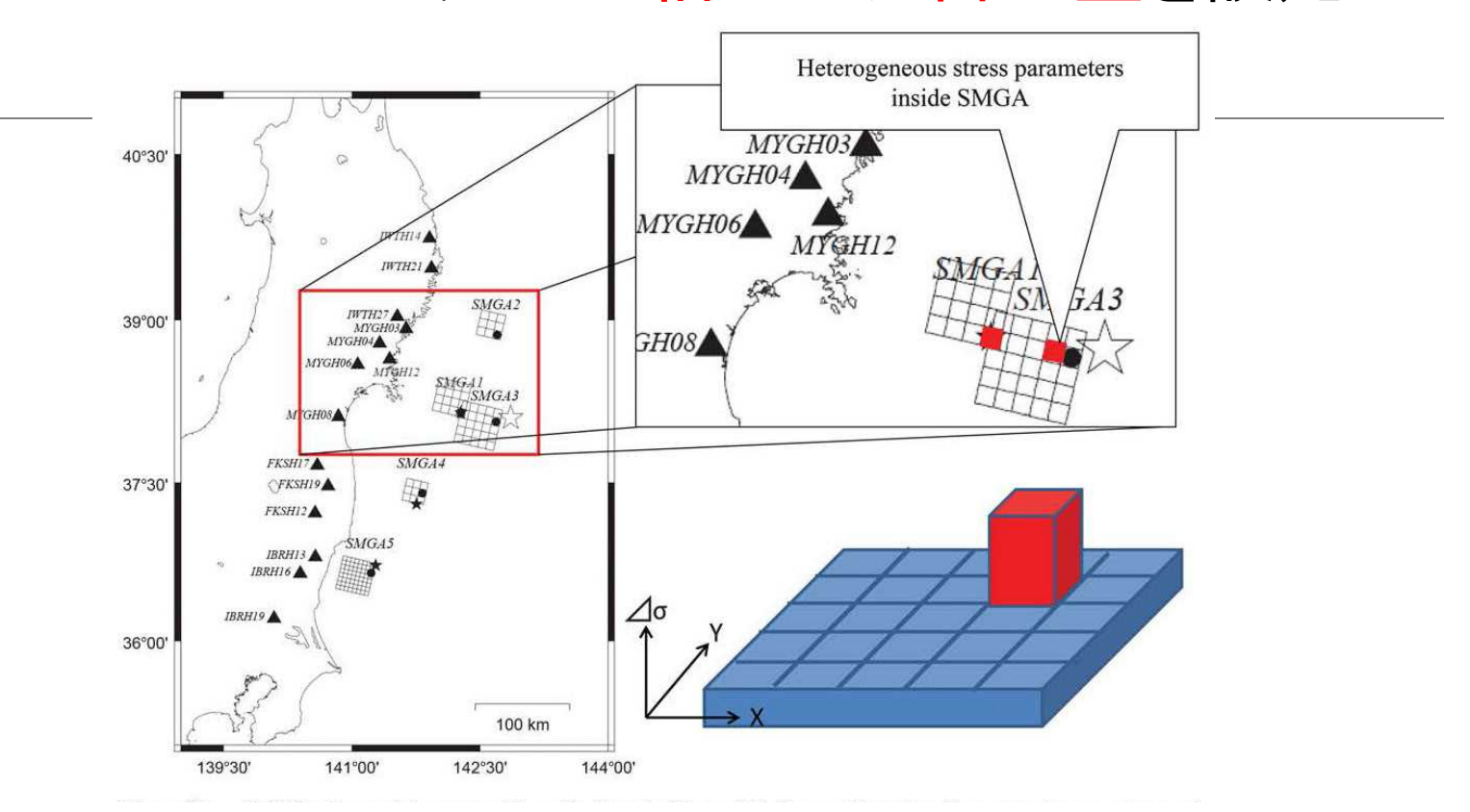
麓による被害は比較的少なかった。実際、東北地方太 だけでなく傾斜方向にも伝播し、宮城沖地域と呼ばれ 平洋沖地震の特徴の1つは、地震による被害が比較的 る深部と日本海溝近くの小さな浅部の両方に広がって 少ないことである。強震動の特性によるものかもしれ いることがわかった。 ない。そしてそれはこの地震による破壊プロセスに関 強振動データ,広帯域地震データ,地殻変動データ, 連している可能性がある。

津波のデータを用いて発生直後に発表された(例:藤井 強震動データと遠地地震データから得られた短周期の ら 2011, 井出ら 2011, 小沢ら 2011, 八木・深畑 2011a, 発生源は, 相対的に震源地の沈み込み地帯に位置して 山中 2011; データとリソース参照)。GPS (全地球 いる。地殻変動データと津波データから推定される変

測位システム) と津波波形のインパージョン (逆解析) 2011年3月11日、東北地方太平洋沖で May 0 の 地震 は、震源から東側の日本流流に向けて大きな「すべり城」 む4つ目のデータを組み込むことによって「統一モデ この地域の建物への被害は主に津波によるもので、地 ル」に拡張した。その結果、断層破壊は断層走行方向

および津波データを別々にインバージョンすると、周 2011年の地震のすべり分布モデルは、地震、測地、 波数に依存した破壊プロセスが見られる傾向がある。

「倉橋・入倉(2013)」(SMGA不均質モデル) SMGA内のサブエリアに4倍の応力降下量を設定



被告川里証人の証言「野津証人の短周期レベルが自分たちのやったものの5倍近くも想定するのはありえない。合理的でない」というならば、入倉氏らがサブエリアの応力を4倍にしなければ地震動を再現できなかったことを「あり得ない・合理的でない」と言わなければならない。

野津意見書 茨城の観測記録とパルス波再現性

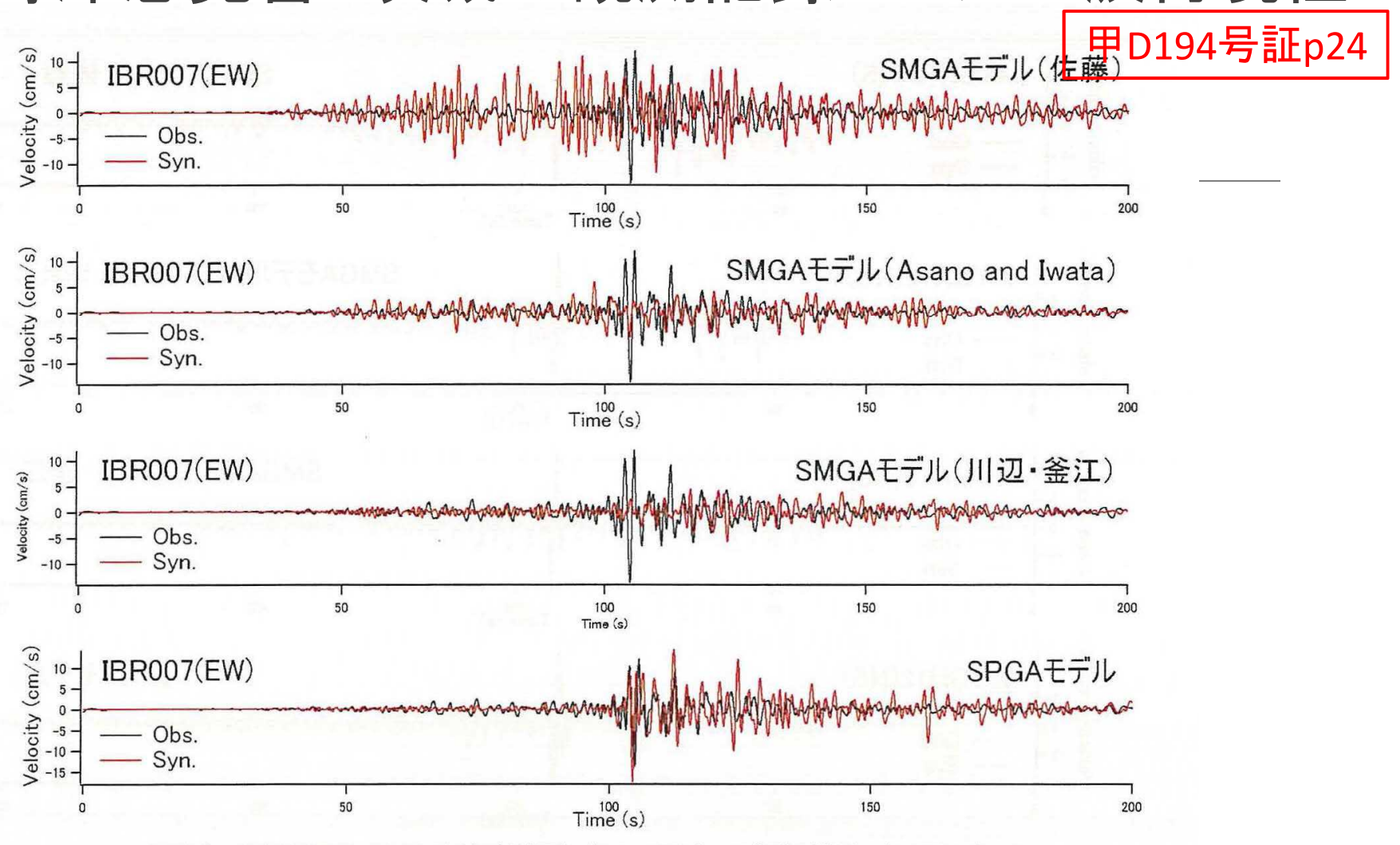
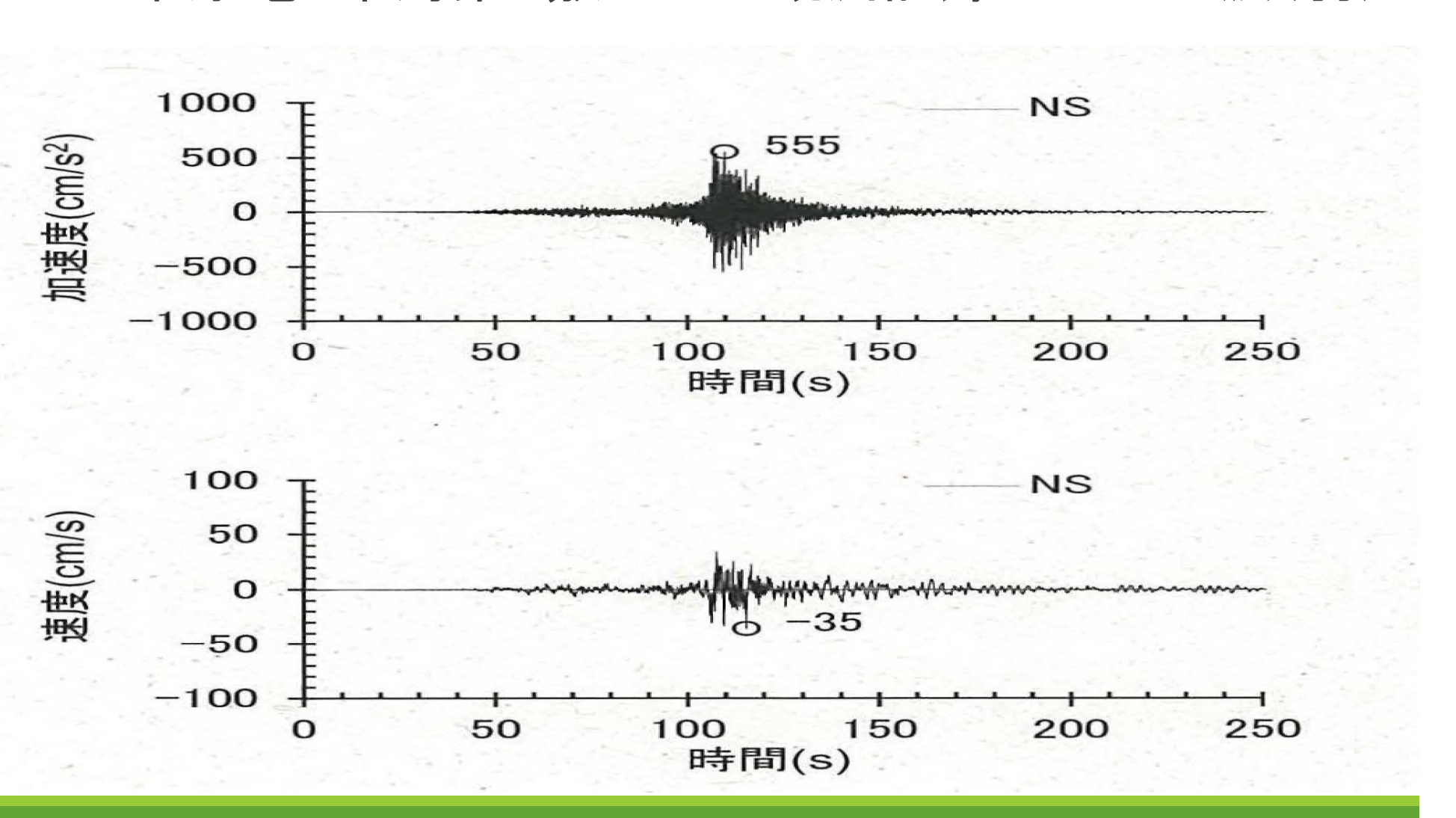


図 14 IBR007 における速度波形 (0.2-1Hz) の観測結果 (-Obs.) と SMGA モデルおよび SPGA モデルによる計算結果 (-Syn.)

日本原電 東海第2敷地での観測記録のパルス波(弱)



丙D44号証

強震動レシピが東海第二の海洋プレート間地震に適用できる根拠とされた「諸井(2013)論文」

日本地震工学会・大会-2013便概集

丙D44号証

標準的な強震動レシビに基づく東北地方太平洋沖巨大地震の強震動の再現

○諸井孝文¹⁾・広谷 浄³・石川和也³⁾・水谷浩之⁴・引聞和人⁵⁾・川里 健⁶⁾・生玉真也 ⁷⁾・釜田正毅 ⁵⁾

П正会員 (※)小歩課二序※5、東京都港区宗坂o-5-30 meroi@keben-takkence.jp,

2) 非会員 東北電力(物)。他台市音樂区本門1-7-1. hirotani. kiyoshi.me@teheku-epeo.co.jp, 3) 同. ishikawa. kazaya. yp@teheku-epeo.co.jp, 4) 所会員 東京電力(例)。東京都千代田〇中春町1-1-3. miznani. hiroyuki@tepeo.co.jp, 5) 正公員 日本原子力発電(特)。東京彰千代田区特王炎土代印1-1. jakeshi-kawasato@jape.co.jp, 7) 明. shiya-ikutama@jape.co.jp, 8) 非公員 蒙島韓敦(例)。東京和南西京东坂 6-5-11. kamata-masaki@kajima.com

1. はじめに

意源の特性化手続きに始まるいかゆる強震動予測 レシビリは、これまで地震の発生観味を開わて様々な タイプの地震の地震動評価に十分な効果を発揮して きた。その一方で2011年3月11日に東北地方太平年中 地震というかが国襲測史上最大規模の地震に至で適用 可能かどうかの検討が必要とされている。そこでここでは一時年と同規模のブレート間巨大地震を想定し、 地震前の先験情報に基づく標準的な強震動・シビを 用いたב調のモデル化を行うことで、女川、福島第一、 本語一の各層子力発電所における番頭岩能上の強 震動の円弧を紹介的グリーン関数法により就みる。

2. 震源のモデル化

想定プレート間巨大地震の震源モデルは入倉²⁰に準 じ、次のように設定した。

① 基本的な前提条件としてモーメントマグニチュー ドをM_m-90とする。断層面積はM_m-M_m-kみなすことで、佐藤ⁿより8-100,000kmⁿが導かれる。平均応力降 下量は円形クラック式より40-9108Mm² 計算される。 なお内間府ⁿは国内外8個のプレート間巨大地震の平均応力降下量を整理しているが、その平均十棒準備差 お3.1MPaとされており、ここで設定したΔσ-3.08MPa とほぼ同じ値である。

③ SMGAの個数と位置は、入倉³などにならい、当該 地域に過去発生したM7~8の地震の震測域への対応 を考慮して設定する。具体的には東北地方の海溝型地 競の発生領域の区分け³に基づき5個のSMGAを設定 し、満去の地震の西海域和当の場所に配置する。

④ その他、SMGAのすべり量、地震モーメントおよび広力降下量、背景領域の微視的パラメータ等は標準的な強震動レシビに従うこととする。

このようにして設定した想定地感の護薬モデルを 図)と表しに示す。またSMGAの面積を定めた意媒果神、福島県神、茨城県神の中小地震のM。 A関係を図なこ示す。 同図にはSMGA面積比 S,Sを変えた場合の SMGA単体のM。A関係を重ねているが、SNS 0.125 のMa-A関係はこれら3地域で発生する中小地震のほ ぼ中間的な値を示すことがもかる。一方、中小地震の M。A関係をより詳細に見ると、茨城県沖の地震に比 べて資域県沖の地震の短周期レベルは大きめの傾向 が認められる。

3. 強震動の再現性

標準的強震動レシビに基づく型定プレート間巨大 地震について、統計的グリーン関数法により評価し た女川、福島第一、東海第二の各発電所の蘇頭岩盤 上の強震動を、東北地方太平洋中震による観測記 録(はぎとり渡)と比較して図るに示す。

本検討は先動的な情報から設定した震源モデルに よる一次近辺的な強速動の再現であるが、地感動レベ ルの評価の点で横測記録をよく提えており、海洋プレート間巨大地震に対する標準的強震動レシビの有用 性を十分に示す結果と言える。しかしながら加速度記 録の延時時代は減野できておらず、その再現には先動 情報のみでは不十分であり、東北地方太平洋沖地震の 断層破壊伝播の解明等が必要と思われる。

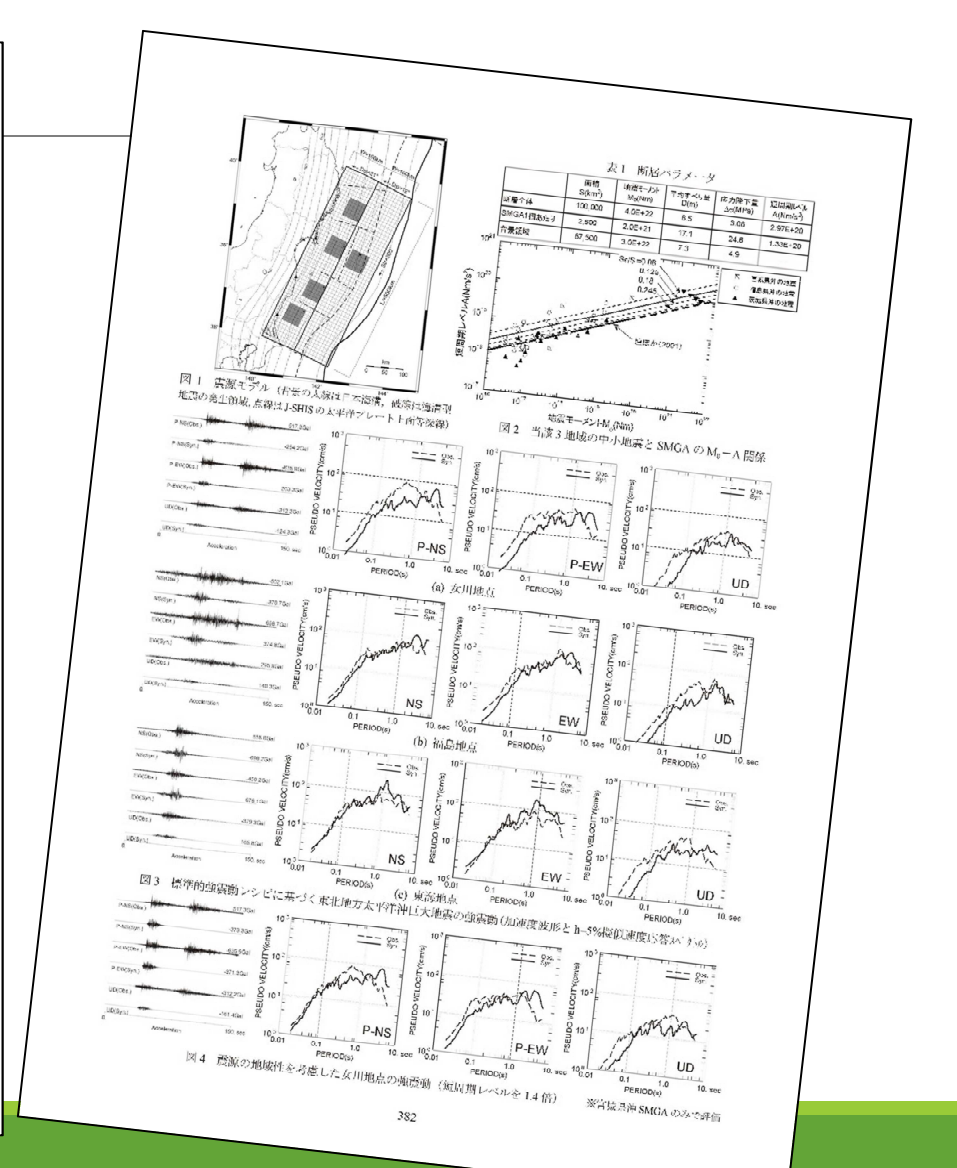
次に、地震動レベルの観測記録との整合性を地点ご とに見ると、東海地点に比較して女川地点の解析結果 はやや鴻小評価となっている。これは先に示した中小 地震の队。—A関係に関する地域間のばるつきが縁弾 的なモデルに考慮されておらず、結果的に宮城県神 SMGAの短周期レベルが過小評価となっている可能 性が考えられる。

そこで1978年官城県神地震を参考に、宮城県神 SMGAの短周期レベルをかさ上げすることで、震潮の 地域性の影響を取り込んだ評価を行った。その結果は 図4のとおりであり、地震動レベルの再現性が有意に 高まっている。

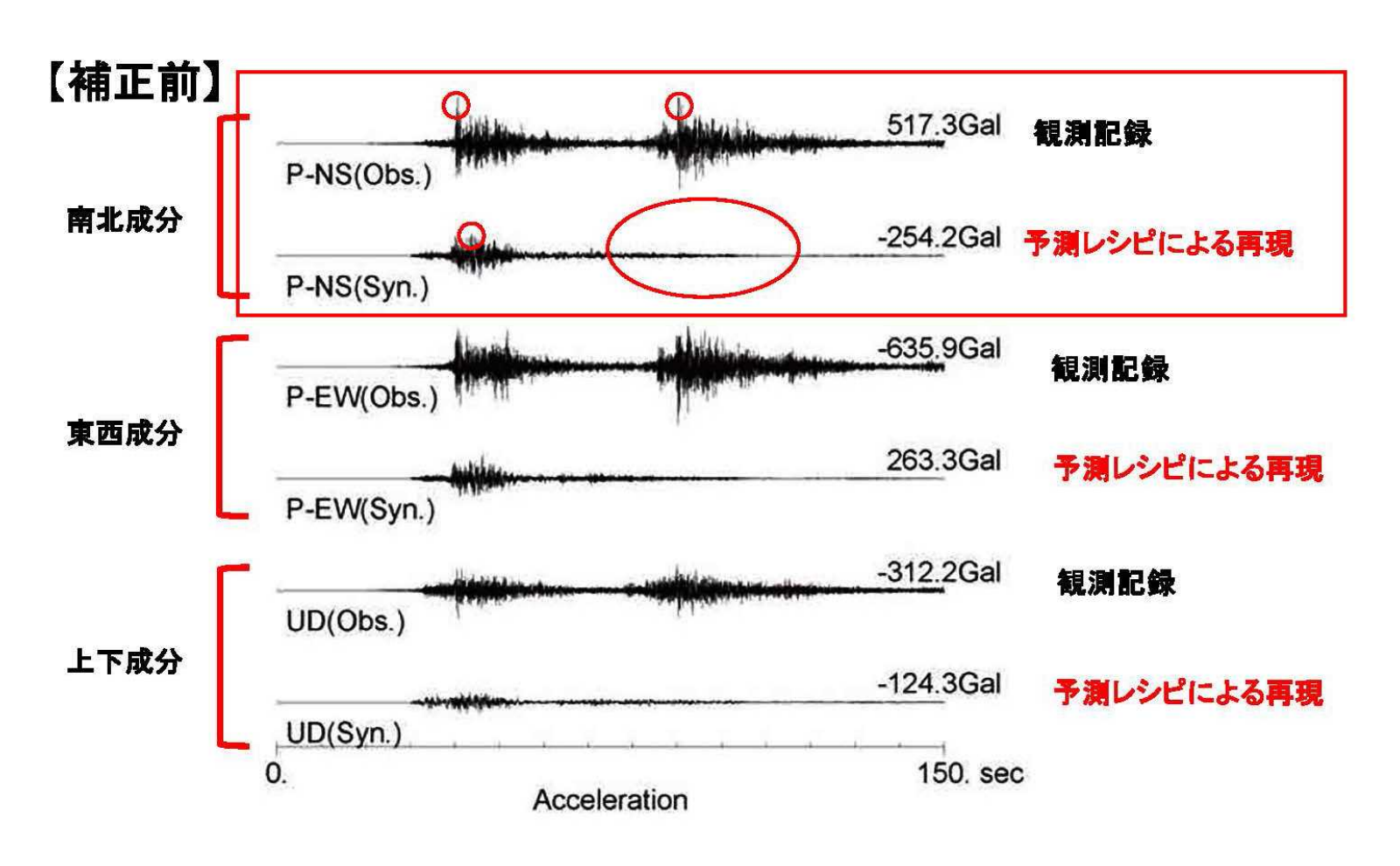
4. まとめ

地震前の先験情報に基づく標準的な強震動レシビ により東北地方太平洋沖巨大地震の強震動の再見を 行った。その結果、強震動レシビの合理性の確認とと もに、渡瀬の地域性の影響が示された。

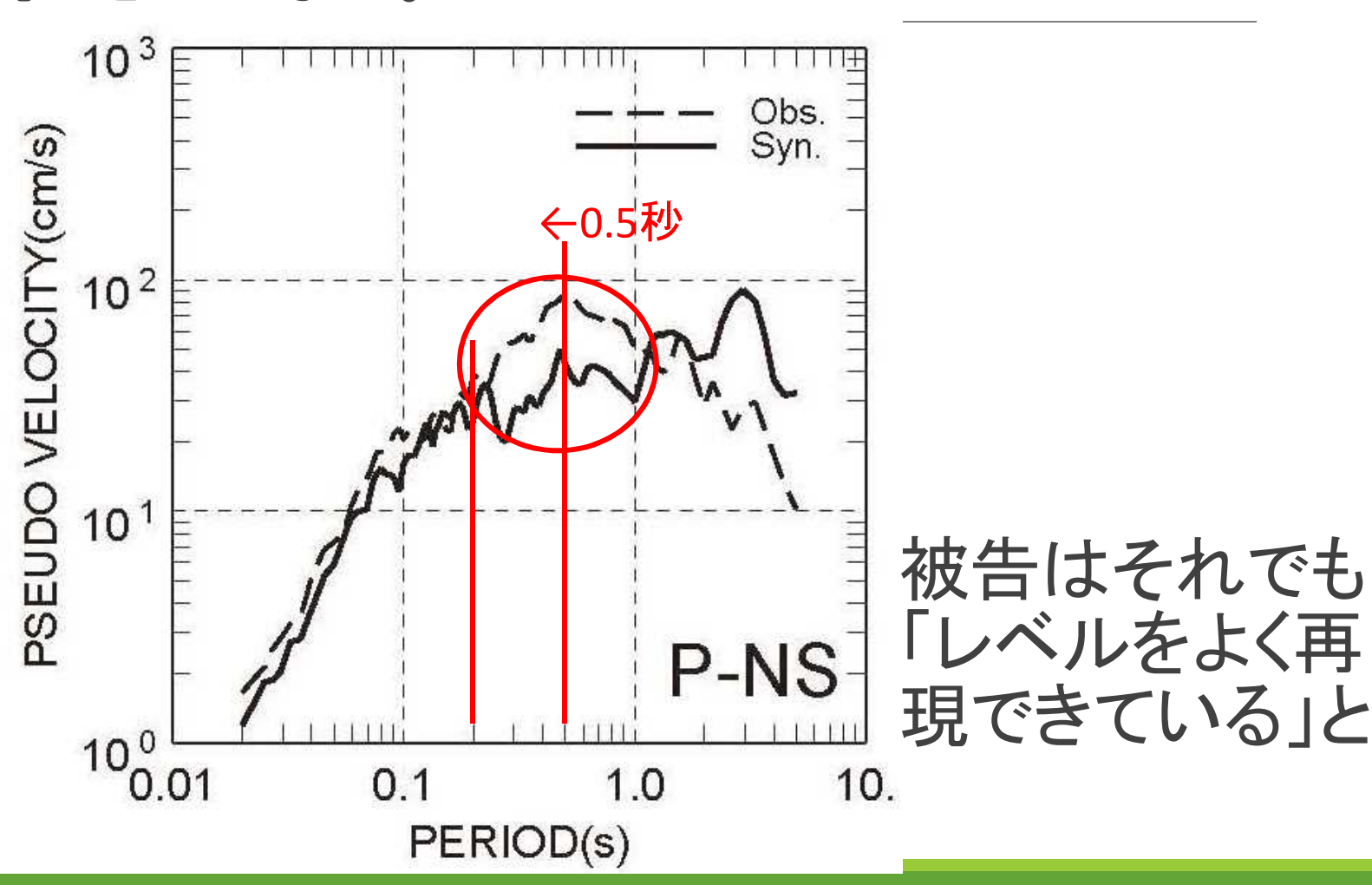
参考文献 1) 入倉・三宅、地学雑誌。2001. 2) 入倉、第40回地保 震動シンボジウム。2012. 3) 佐藤、日本の地定断配パラメター・ ハンドブック. 1989. 4) 内閣府、市海トラフの巨大地震モデル検 計会、2012. 5) 地震調査委員会、日本の地震活動。2009



2011年東北地方太平洋沖地震の観測波(Obs)を再現できない標準強震動レシピによる合成波(Syn)



「原発に影響する短周期とは0.5秒以下」と。 短周期レベルを1.4倍してもなお0.2秒~1秒の速度レベルを再現できていない。



諸井「論文」(2013)は「自作自演」?

~2013年11月12日、日本地震工学会分科会で発表~

標準的な強震動レシピに基づく東北地方太平洋沖巨大地震の強震動の再現

○諸井孝文¹⁾・広谷 浄²⁾・石川和也³⁾・水谷浩之⁴⁾・引間和人⁵⁾・川里 健⁶⁾・生玉真也⁷⁾・釜田正毅⁸⁾
1)正会員 (株)小堀鐸二研究所,東京都港区赤坂6-5-30,moroi@kobori-takken.co.jp,

2)非会員 東北電力(株),仙台市青葉区本町1-7-1,hirotani.kiyoshi.nv@tohoku-epco.co.jp, 3)同,ishikawa.kazuya.yp@tohoku-epco.co.jp, 4)非会員 東京電力(株),東京都千代田区内幸町1-1-3,mizutani.hiroyuki@tepco.co.jp, 5)正会員 同,hikima.kazuhito@tepco.co.jp, 6)正会員 日本原子力発電(株),東京都千代田区神田美土代町1-1,takeshi-kawasato@japc.co.jp, 7)同,shinya-ikutama@japc.co.jp,

8)非会員 鹿島建設(株),東京都港区赤坂 6-5-11,kamata-masaki@kajima.com

11月12日 (火) 15:15~17:15

震源特性2

座長:野津厚

性女·封序		
数論的地震活動モデル	373	○藤原広行((独)防災科学技術研究所)
長大断層を対象とした逆断層型内陸地震の動的応力降下量の算定式の検討	375	○入江紀嘉((株)大崎総合研究所)・壇一男・鳥田晴彦・加瀬 祐子
スペクトルインバージョンにより推定した応力降下量および短周期レベルA	377	○仲野健一((株)安藤・間)・川瀬博・松島信一
経験的グリーン・テンソル法による高周波数帯域の地震動シミュレーション	379	〇大堀道広(福井大学)
標準的な強震動レシピに基づく東北地方太平洋沖巨大地震の強震動の再現	381	○諸井孝文((株)小堀鐸二研究所)・広谷浄・石川和也・水谷 浩之・引間和人・川里健・生玉真也・釜田正毅
茨城県沖・福島県沖の地震による長周期地震動	383	○植竹富一(東京電力(株))
断層モデル設定の不確かさによる予測地震動応答スペクトルのばらつき	385	○引田智樹(鹿島建設(株))・池浦友則・友澤裕介
地震ハザード評価のための地震動予測式のばらつきの検討	387	○森川信之((独)防災科学技術研究所)・藤原広行

被告川里証人 陳述書付属資料 付-59

○東北地方太平洋沖地震でパルス波が観測されたことを踏まえ、断層面上の狭い領域から鋭いパルスが生成される領域として、SPGAモデルが提唱されているが(甲D第81号証等)、本件発電所では、SMGAモデルを用いて適切に地震動評価を行っており、原子力規制委員会も本件意見公募手続において「規制において要求又は推奨すべきアプローチとして位置付けるまでの科学的・技術的な熟度には至っていない」との見解を示している(丙H第6号証の別紙1の15~16頁)。

SPGAモデル	SMGAモデル	原子力規制委員会の本件意見公募手続における回答
○主に1.0秒~5.0秒の周期帯における 強震動の特性に着目した検討を行って いるが、本件発電所を含む原子力施設 における主要設備の固有周期は0.5秒 以下であり異なる。	○本件発電所で得られた東北地方太平洋沖地震の観測記録と、地震調査研究推進本部のレシピに沿って設定したSMGAモデルを用いた地震動評価結果とを比較し、0.5秒以下の短周期領域において特に良く再現できることを確認している。	震源断層の詳細な調査結果を用いてレシピを用いる方法以外の方法によって基準地震動を策定するというアプローチについては、どのように保守性を確保していくかに関し、妥当な方法が現時点で明らかになっているとは言えず、規制において要求又は推奨すべきアプローチとして位置付けるまでの科学的・技術的な熟度には至っていないと考えています。強震動パルス生成域(以下「SPGA」と
○SPGAモデルによる強震動予測はほとん ど実用されていないのが現実である。	○内閣府に設置された南海トラフ検討会は、「あらゆる可能性を考慮した最大クラスの巨大な地震・津波を検討していくべきである」との考え方に従い、東北地方太平洋沖地震で得られたデータを含め、現時点の科学的知見に基づき、南海トラフ沿いにおいて発生し得る最大クラスの地震・津波を検討し公表している。 ○その地震動評価において採用したモデルは、SMGAモデルである(丙D第48号証)。	いう。)から構成される震源モデルであるSPGAモデルは、2011年東北地方太平洋沖地震等の観測地震動を説明するための再現モデルの一つですが、予測問題に適用する場合においては、提案者も論文で示すようにSPGAの位置設定等が今後の課題とされており、強震動予測のパッケージとして確立していないものと考えています。SPGAモデルの適用も含め、地震動の計算方法の高度化については、まずは、地震調査研究推進本部のような場で議論されるものであり、そこでの検討結果も含め、新たな知見が得られれば、原子力発電所の規制にどのように取り入れるかについて、規制委員会として適切に判断していきます(丙H第6号証の別紙1の15~16頁)。



被告の「およそ考えられない」

- ① 東北地方太平洋沖地震のような規模の地震が今後数十年といった期間で再び発生するとはおよそ考え難い。
- ② 基準地震動を上回る地震動が本件発電所に生ずることは(年超過 確率からして)およそ考えがたい。
- ③ 基準津波を上回るような津波が本件発電所に生ずることはお よそ考えがたい。
- 4 大津波警報等が発表されたら大型船舶はみな緊急退避か係留されることになっているので本件発電所の敷地に大型船舶が到来するとはおよそ考えられない。

(つづき)

- 5 ケーブルも蓋をかぶせているから火災が発生したとしても安全上重要な設備の安全機能に影響を及ぼすといったことはおよそ考え難い。
- 6 新規制基準を踏まえて対応しているからそもそも水素爆発や水蒸 気爆発の発生に至るような炉心の著しい損傷が生ずるとはおよそ 考えられない。
- ⑦ 東海再処理施設の安全性は確保されており事故が生じることはおよそ考えがたい。
- 8 したがって、周辺公衆に対する放射性物質の有する危険性が顕在 化する事態が生ずるとはおよそ考えがたく、原告らの人格権を侵 害するような具体的危険性が生ずるとは考えられない。

まとめ

- ① 「およそ考えられない」と言っていることの 意味すること
 - ・・・「およそ考えていなかったこと」(想定外)が起きてきた事実
- ②「情報を明らかにしない」こと
 - ・・・事実や情報を与えられない時に住民は自衛もできないこと